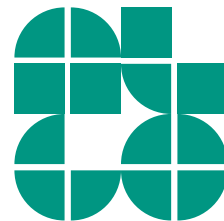


Vorlesung Algorithmische Geometrie

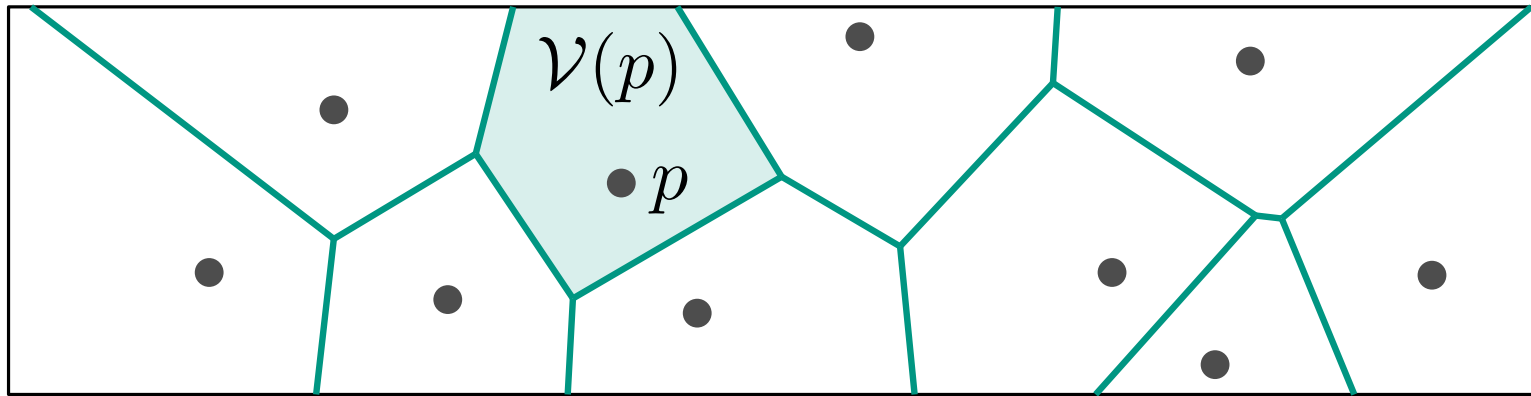
Voronoi-Diagramme & Delaunay-Triangulierungen

LEHRSTUHL FÜR ALGORITHMIK I · INSTITUT FÜR THEORETISCHE INFORMATIK · FAKULTÄT FÜR INFORMATIK

Martin Nöllenburg
07.06.2011

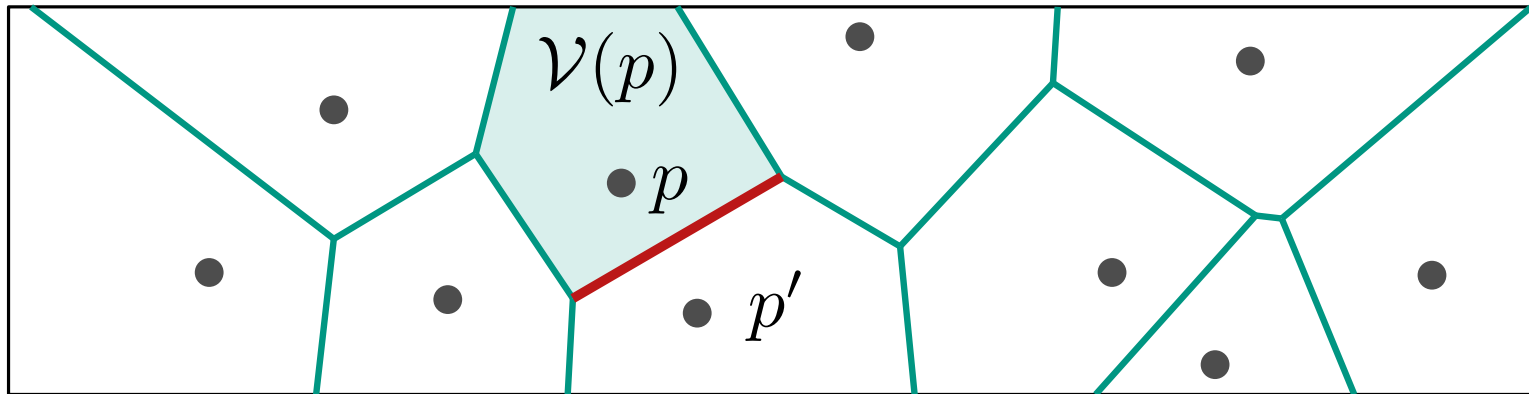


Erinnerung: Voronoi-Diagramm



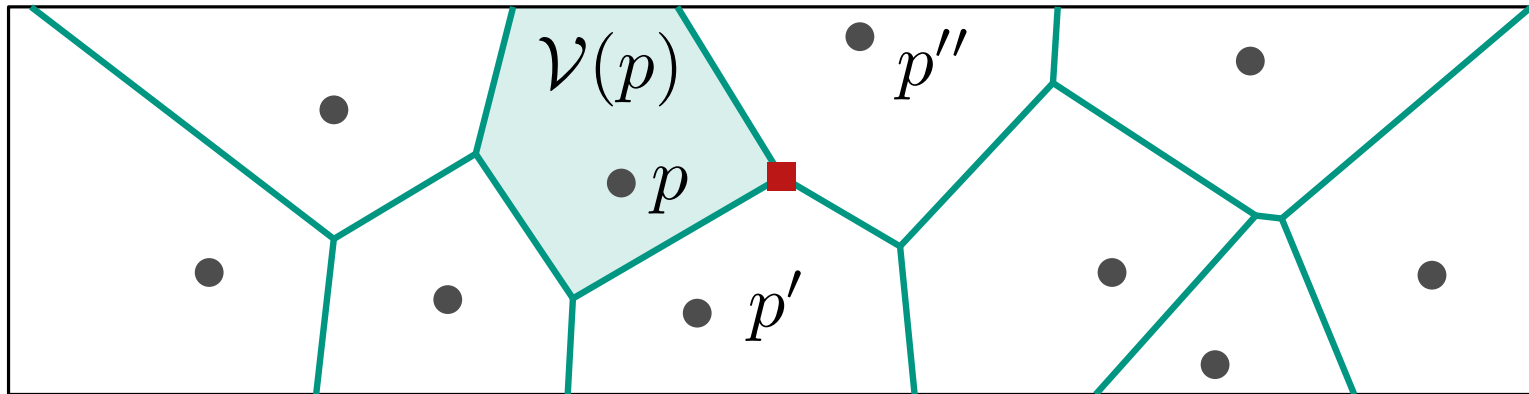
- $\mathcal{V}(p) = \{x \in \mathbb{R}^2 : |px| < |qx| \forall q \in P \setminus \{p\}\}$

Erinnerung: Voronoi-Diagramm



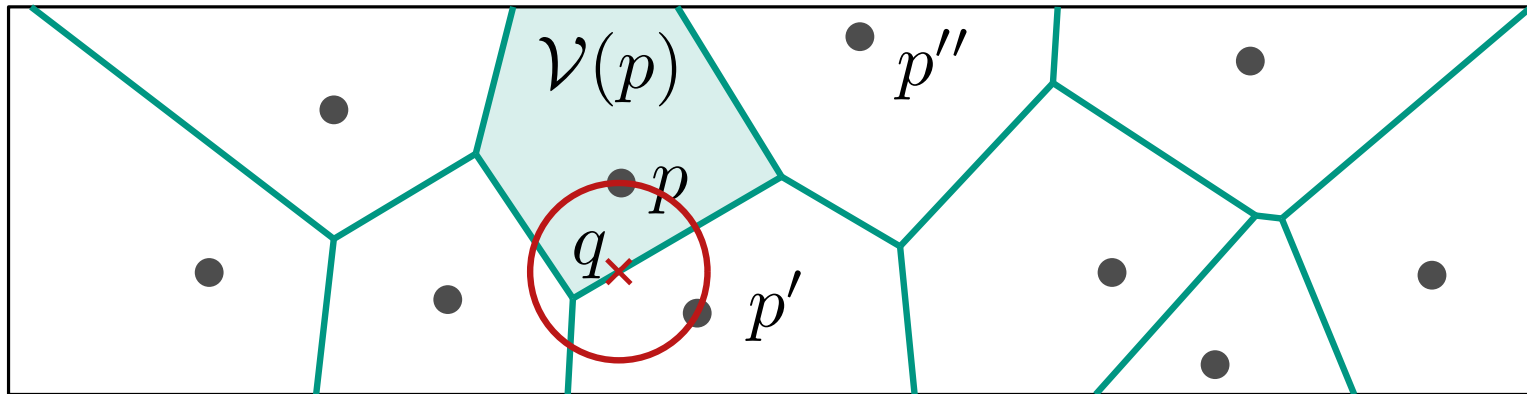
- $\mathcal{V}(p) = \{x \in \mathbb{R}^2 : |px| < |qx| \forall q \in P \setminus \{p\}\}$
- $\mathcal{V}(\{p, p'\}) = \{x \in \mathbb{R}^2 : |px| = |p'x| < |qx| \forall q \in P \setminus \{p, p'\}\}$

Erinnerung: Voronoi-Diagramm



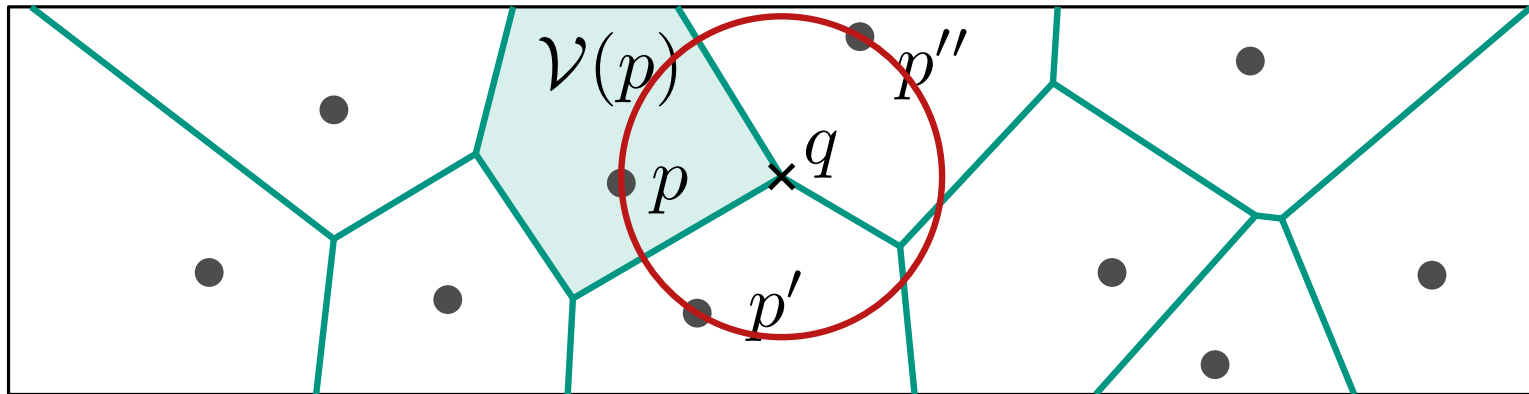
- $\mathcal{V}(p) = \{x \in \mathbb{R}^2 : |px| < |qx| \forall q \in P \setminus \{p\}\}$
- $\mathcal{V}(\{p, p'\}) = \{x \in \mathbb{R}^2 : |px| = |p'x| < |qx| \forall q \in P \setminus \{p, p'\}\}$
- $\mathcal{V}(\{p, p', p''\}) = \partial\mathcal{V}(p) \cap \partial\mathcal{V}(p') \cap \partial\mathcal{V}(p'')$

Erinnerung: Voronoi-Diagramm



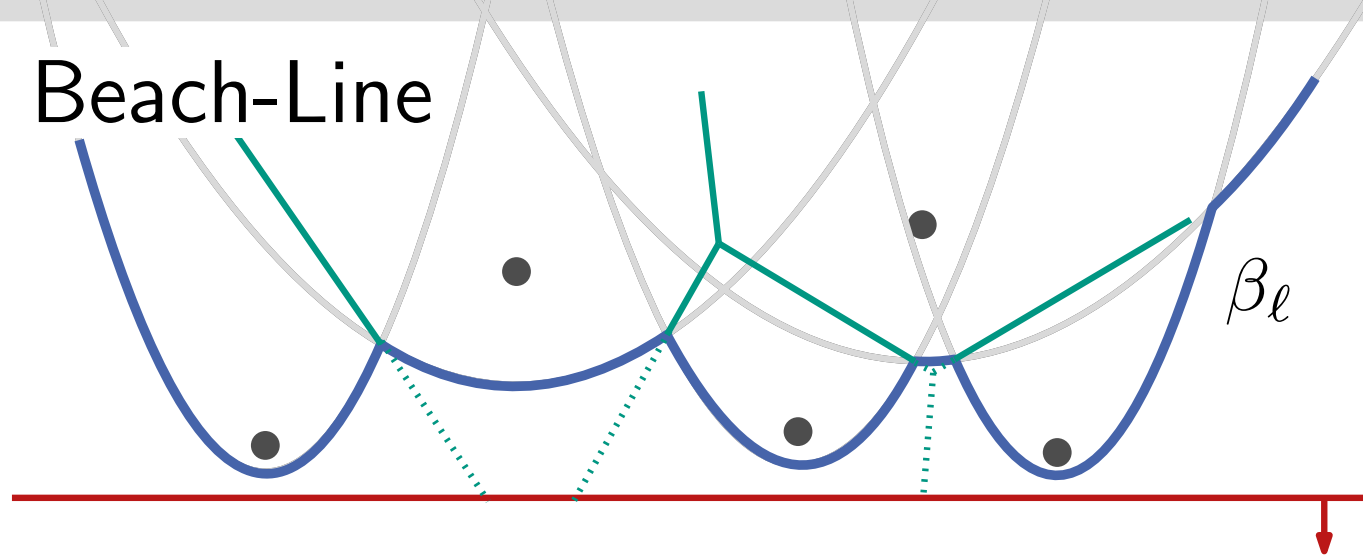
- $\mathcal{V}(p) = \{x \in \mathbb{R}^2 : |px| < |qx| \forall q \in P \setminus \{p\}\}$
- $\mathcal{V}(\{p, p'\}) = \{x \in \mathbb{R}^2 : |px| = |p'x| < |qx| \forall q \in P \setminus \{p, p'\}\}$
- $\mathcal{V}(\{p, p', p''\}) = \partial\mathcal{V}(p) \cap \partial\mathcal{V}(p') \cap \partial\mathcal{V}(p'')$
- $q \in \mathcal{V}(\{p, p'\}) \Leftrightarrow C_P(q) \cap P = \{p, p'\}$

Erinnerung: Voronoi-Diagramm



- $\mathcal{V}(p) = \{x \in \mathbb{R}^2 : |px| < |qx| \forall q \in P \setminus \{p\}\}$
- $\mathcal{V}(\{p, p'\}) = \{x \in \mathbb{R}^2 : |px| = |p'x| < |qx| \forall q \in P \setminus \{p, p'\}\}$
- $\mathcal{V}(\{p, p', p''\}) = \partial\mathcal{V}(p) \cap \partial\mathcal{V}(p') \cap \partial\mathcal{V}(p'')$
- $q \in \mathcal{V}(\{p, p'\}) \Leftrightarrow C_P(q) \cap P = \{p, p'\}$
- $q = \mathcal{V}(\{p, p', p''\}) \Leftrightarrow C_P(q) \cap P \supseteq \{p, p', p''\}$

Wdh: Beach-Line



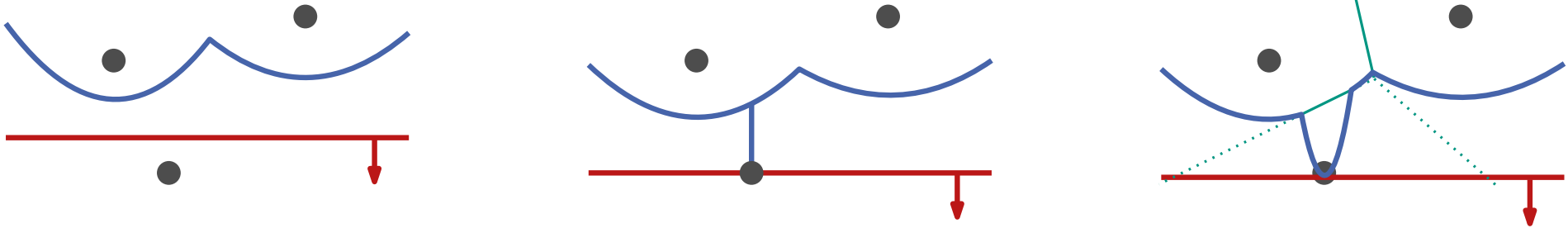
Definition: Die **Beach-Line** β_ℓ ist die untere Kontur der Parabeln f_p^ℓ für die bereits besuchten Punkte.

Beob.:

- Beach-Line ist x -monoton
- Schnittpunkte der Beach-Line „zeichnen“ die Voronoi- Kanten

Ziel: speichere (implizit) aktuelle Kontur β_ℓ statt $\text{Vor}(P) \cap \ell$

Wdh: Punkt-Events

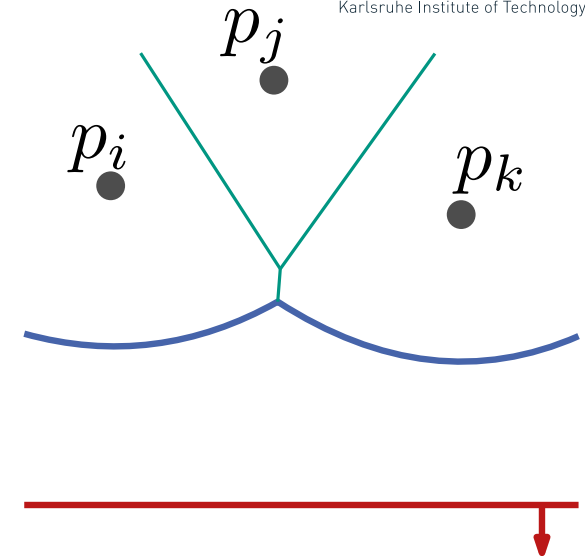
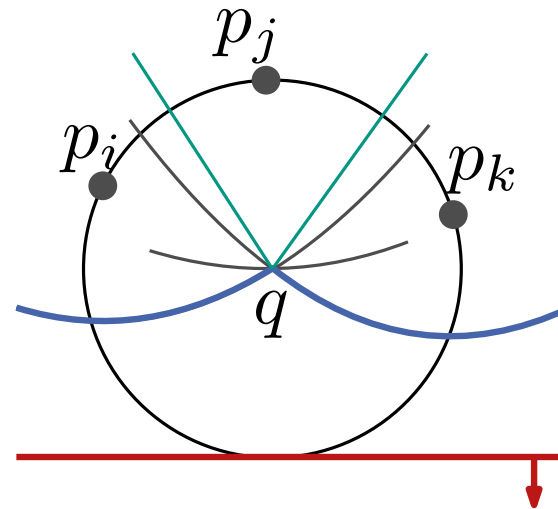
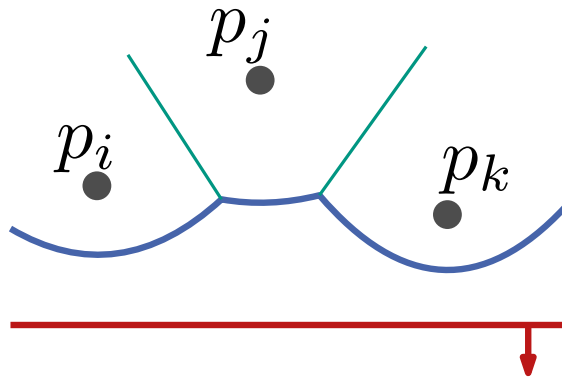


- trifft ℓ auf einen Punkt, kommt neue Parabel zu β_ℓ hinzu
- die beiden Schnittpunkte erzeugen neue Teilkante

Lemma: Neue Bögen auf β entstehen nur durch Punkt-Events.

Korollar: β besteht aus maximal $2n - 1$ Parabelbögen

Wdh: Kreis-Events



- verschwindet der Bogen für p_j so laufen $f_{p_i}^\ell, f_{p_j}^\ell, f_{p_k}^\ell$ durch einen gemeinsamen Punkt q
- Kreis $C_P(q)$ geht durch p_i, p_j, p_k und berührt ℓ
 $\Rightarrow q$ ist Voronoi-Knoten

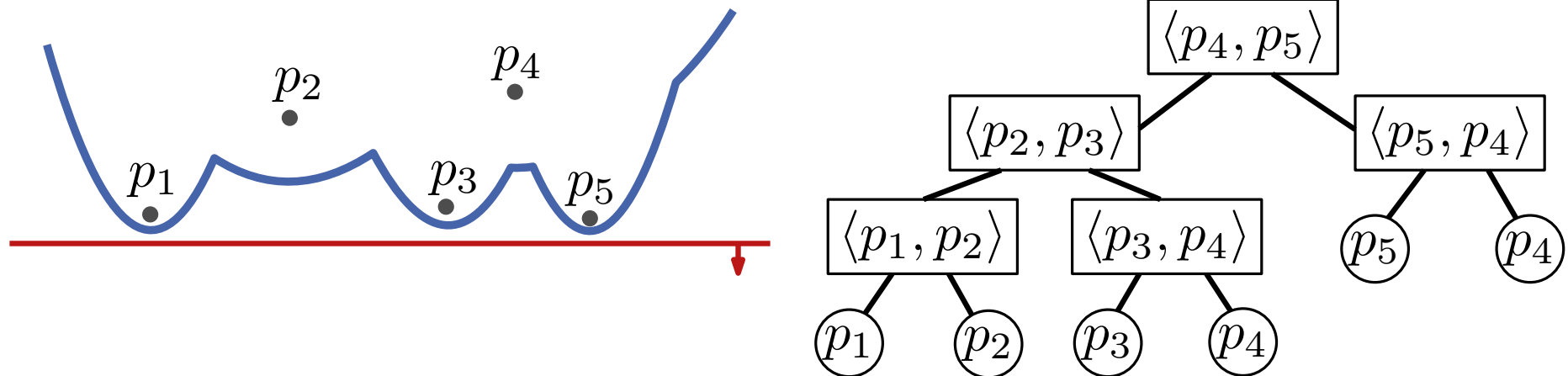
Def.: Der unterste Punkt des Kreises durch drei Punkte mit konsekutiven Bögen auf β definiert ein **Kreis-Event**.

Lemma: Bögen von β werden nur durch Kreis-Events entfernt.

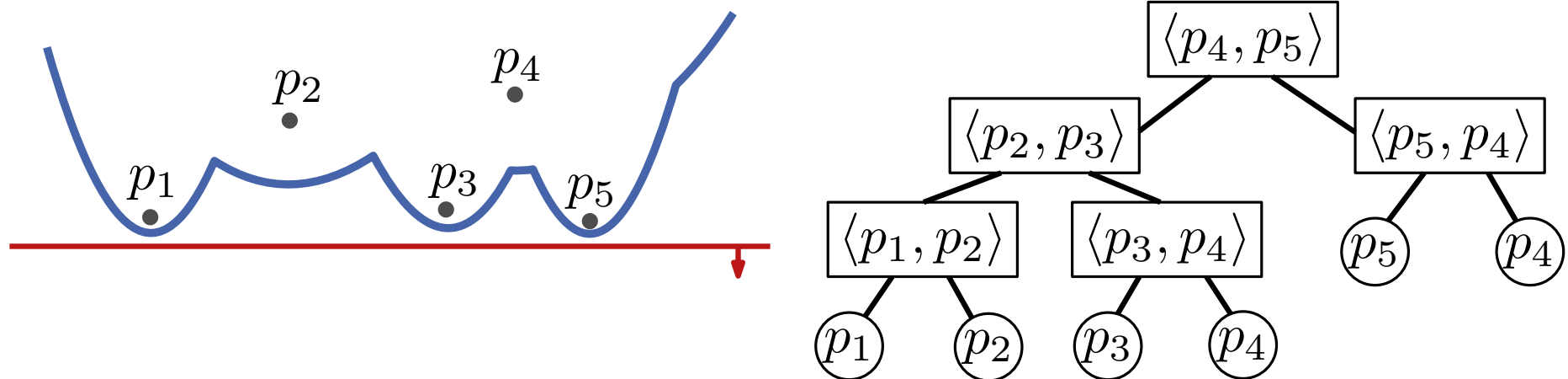
Lemma: Für jeden Voronoi-Knoten gibt es ein Kreis-Event.

- doppelt-verkettete Kantenliste (DCEL) \mathcal{D} für $\text{Vor}(P)$
Achtung: am Schluss bounding box wg. Halbgeraden einfügen

- doppelt-verkettete Kantenliste (DCEL) \mathcal{D} für $\text{Vor}(P)$
Achtung: am Schluss bounding box wg. Halbgeraden einfügen
- balancierter binärer Suchbaum \mathcal{T} für implizite Beach-Line
 - Blätter entsprechen Parabelbögen von links nach rechts
 - innerer Knoten $\langle p_i, p_j \rangle$ entspricht Schnittpunkt von p_i und p_j
 - Pointer von inneren Knoten auf zugeh. Kanten in \mathcal{D}



- doppelt-verkettete Kantenliste (DCEL) \mathcal{D} für $\text{Vor}(P)$
Achtung: am Schluss bounding box wg. Halbgeraden einfügen
- balancierter binärer Suchbaum \mathcal{T} für implizite Beach-Line
 - Blätter entsprechen Parabelbögen von links nach rechts
 - innerer Knoten $\langle p_i, p_j \rangle$ entspricht Schnittpunkt von p_i und p_j
 - Pointer von inneren Knoten auf zugeh. Kanten in \mathcal{D}



- Priority Queue \mathcal{Q} für die Punkt- und Kreis-Events
 - Pointer von Kreis-Events auf zugeh. Blätter in \mathcal{T} und umgekehrt

Fortune's Sweep Algorithmus

VoronoiDiagram($P \subset \mathbb{R}^2$)

$Q \leftarrow$ new PriorityQueue(P) // Punkt-Events sortiert nach y

$\mathcal{T} \leftarrow$ new BalancedBinarySearchTree() // Beach-Line

$\mathcal{D} \leftarrow$ new DCEL() // DS für Vor(P)

while not $Q.empty()$ **do**

$p \leftarrow Q.ExtractMax()$

if p Punkt-Event **then**

 | HandlePointEvent(p)

else

 | $\alpha \leftarrow$ Bogen von β , der entfernt werden soll

 | HandleCircleEvent(α)

 behandle innere Restknoten von \mathcal{T} (Halbgeraden von Vor(P))

return \mathcal{D}

Fortune's Sweep Algorithmus



Steven Fortune,
1986



VoronoiDiagram($P \subset \mathbb{R}^2$)

$Q \leftarrow$ new PriorityQueue(P) // Punkt-Events sortiert nach y

$\mathcal{T} \leftarrow$ new BalancedBinarySearchTree() // Beach-Line

$\mathcal{D} \leftarrow$ new DCEL() // DS für Vor(P)

while not $Q.empty()$ **do**

$p \leftarrow Q.ExtractMax()$

if p Punkt-Event **then**

 | HandlePointEvent(p)

else

$\alpha \leftarrow$ Bogen von β , der entfernt werden soll

 HandleCircleEvent(α)

 behandle innere Restknoten von \mathcal{T} (Halbgeraden von Vor(P))

return \mathcal{D}

Fortune's Sweep Algorithmus



Steven Fortune,
1986



VoronoiDiagram($P \subset \mathbb{R}^2$)

$Q \leftarrow$ new PriorityQueue(P) // Punkt-Events sortiert nach y

$\mathcal{T} \leftarrow$ new BalancedBinarySearchTree() // Beach-Line

$\mathcal{D} \leftarrow$ new DCEL() // DS für Vor(P)

while not $Q.empty()$ **do**

$p \leftarrow Q.ExtractMax()$

if p Punkt-Event **then**

 | **HandlePointEvent**(p)

else

$\alpha \leftarrow$ Bogen von β , der entfernt werden soll

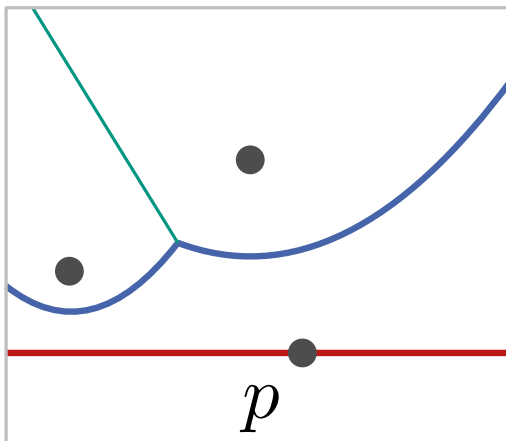
 | **HandleCircleEvent**(α)

 behandle innere Restknoten von \mathcal{T} (Halbgeraden von Vor(P))

return \mathcal{D}

Punkt-Events behandeln

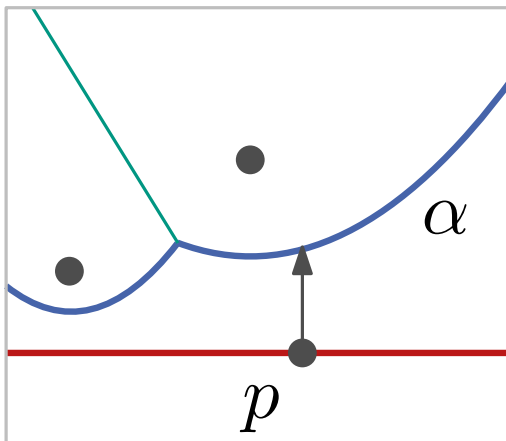
HandlePointEvent(Punkt p)



Punkt-Events behandeln

HandlePointEvent(Punkt p)

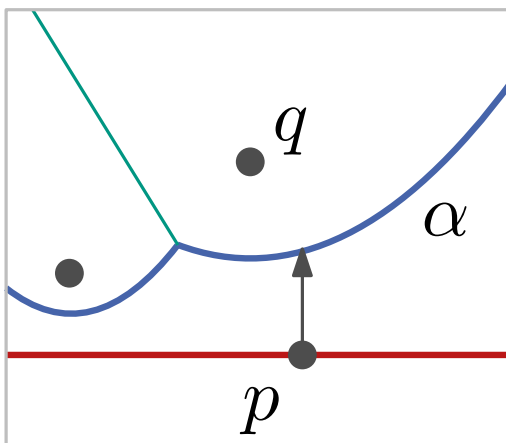
- Suche in \mathcal{T} den Bogen α vertikal über p .
Hat α pointer auf Kreis-Event in \mathcal{Q} , lösche es aus \mathcal{Q} .



Punkt-Events behandeln

HandlePointEvent(Punkt p)

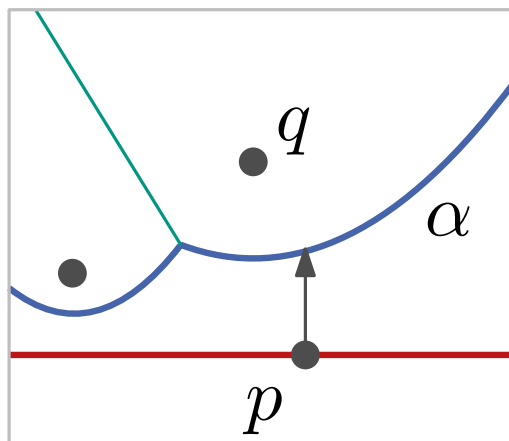
- Suche in \mathcal{T} den Bogen α vertikal über p .
Hat α pointer auf Kreis-Event in \mathcal{Q} , lösche es aus \mathcal{Q} .
- Teile α in α_0 und α_2 .
Sei α_1 neuer Bogen für p .



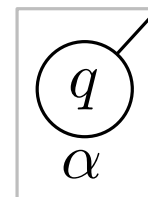
Punkt-Events behandeln

HandlePointEvent(Punkt p)

- Suche in \mathcal{T} den Bogen α vertikal über p .
Hat α pointer auf Kreis-Event in \mathcal{Q} , lösche es aus \mathcal{Q} .
- Teile α in α_0 und α_2 .
Sei α_1 neuer Bogen für p .



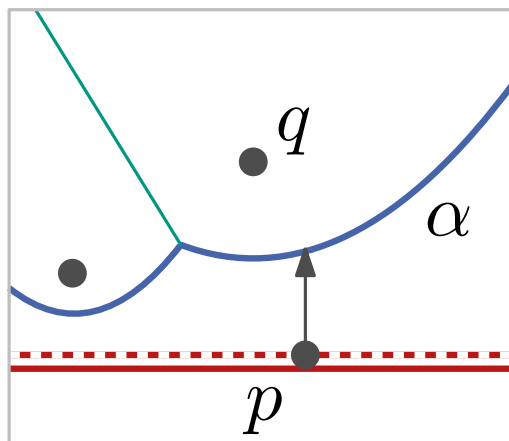
In \mathcal{T} :



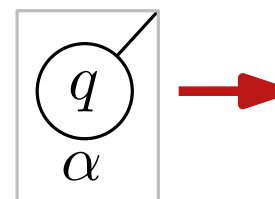
Punkt-Events behandeln

HandlePointEvent(Punkt p)

- Suche in \mathcal{T} den Bogen α vertikal über p .
Hat α pointer auf Kreis-Event in \mathcal{Q} , lösche es aus \mathcal{Q} .
- Teile α in α_0 und α_2 .
Sei α_1 neuer Bogen für p .



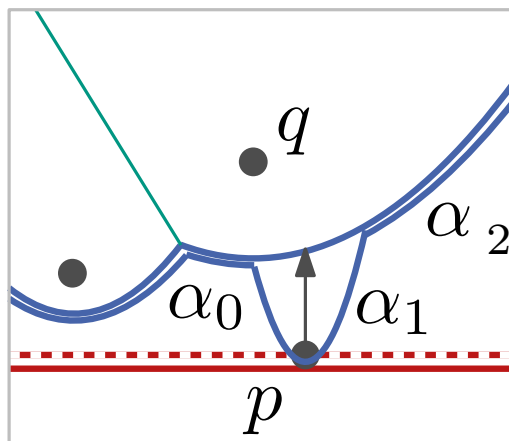
In \mathcal{T} :



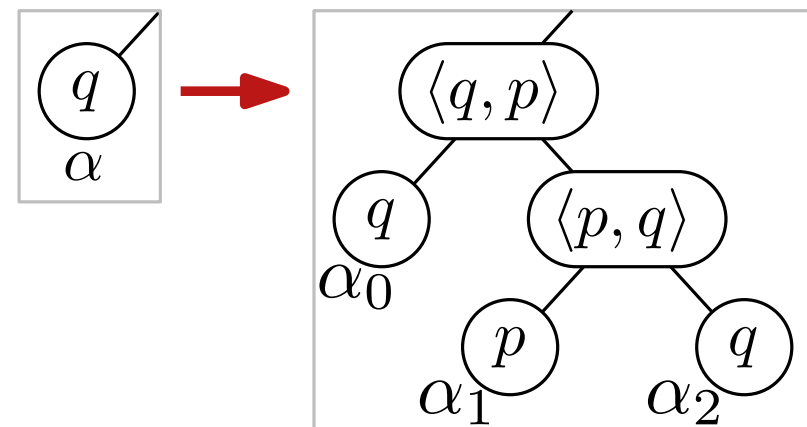
Punkt-Events behandeln

HandlePointEvent(Punkt p)

- Suche in \mathcal{T} den Bogen α vertikal über p .
Hat α pointer auf Kreis-Event in \mathcal{Q} , lösche es aus \mathcal{Q} .
- Teile α in α_0 und α_2 .
Sei α_1 neuer Bogen für p .



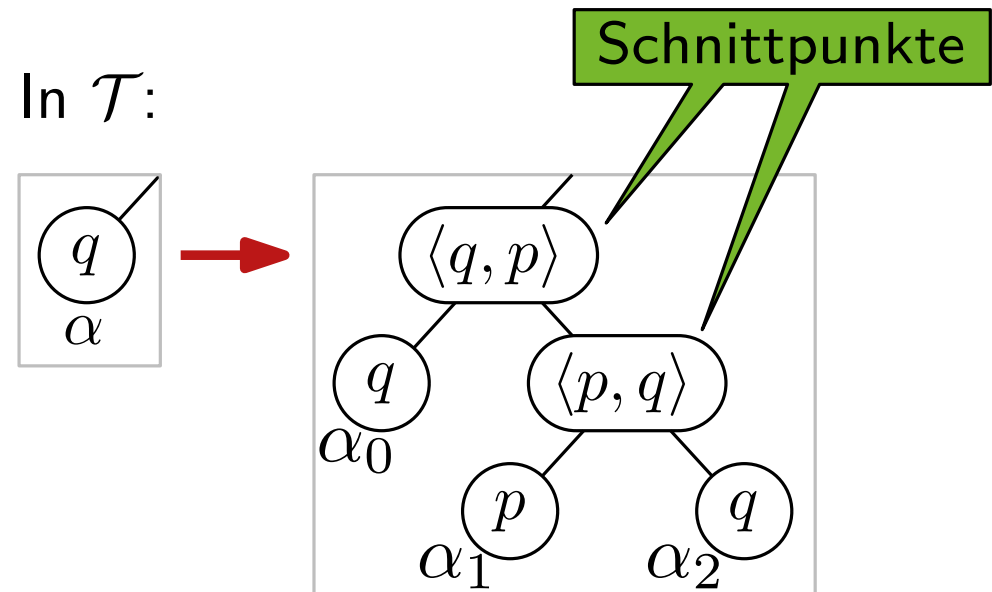
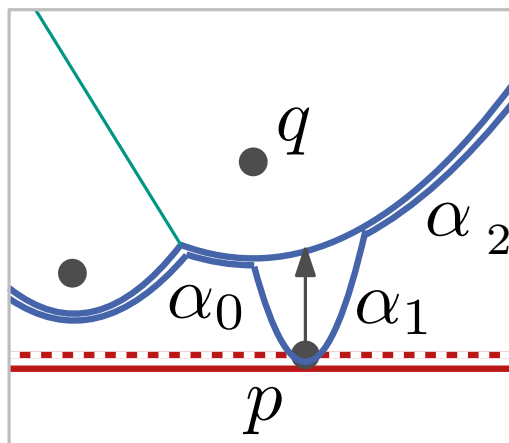
In \mathcal{T} :



Punkt-Events behandeln

HandlePointEvent(Punkt p)

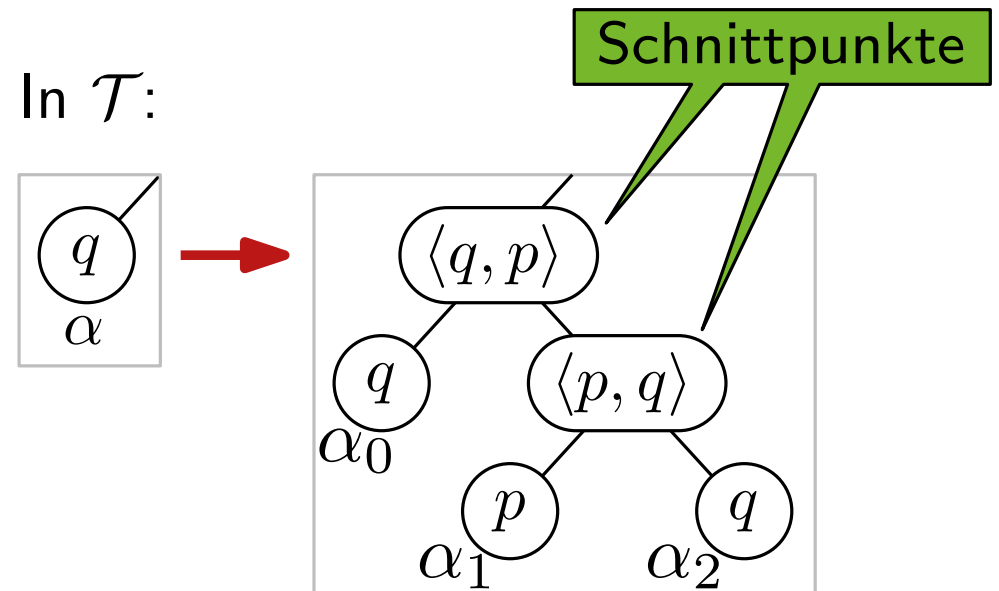
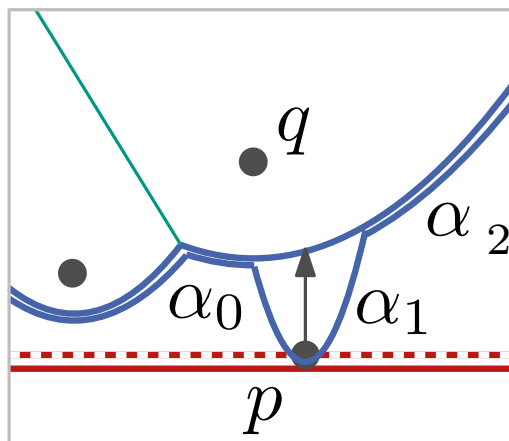
- Suche in \mathcal{T} den Bogen α vertikal über p .
Hat α pointer auf Kreis-Event in \mathcal{Q} , lösche es aus \mathcal{Q} .
- Teile α in α_0 und α_2 .
Sei α_1 neuer Bogen für p .



Punkt-Events behandeln

HandlePointEvent(Punkt p)

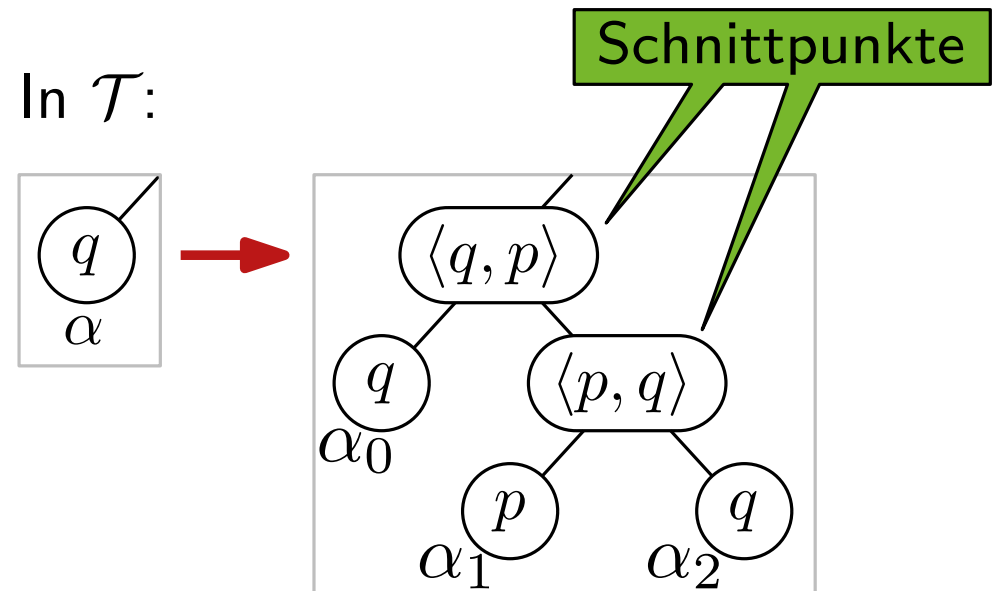
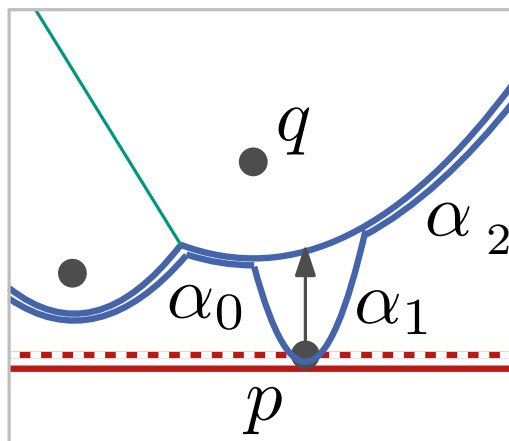
- Suche in \mathcal{T} den Bogen α vertikal über p .
Hat α pointer auf Kreis-Event in \mathcal{Q} , lösche es aus \mathcal{Q} .
- Teile α in α_0 und α_2 .
Sei α_1 neuer Bogen für p .
- Füge Kanten $\langle q, p \rangle$ und $\langle p, q \rangle$ in \mathcal{D} ein.



Punkt-Events behandeln

HandlePointEvent(Punkt p)

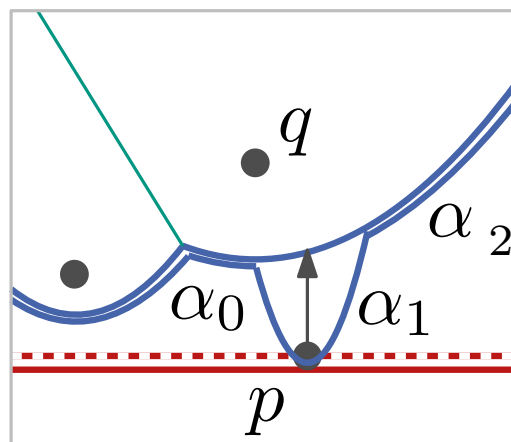
- Suche in \mathcal{T} den Bogen α vertikal über p .
Hat α pointer auf Kreis-Event in \mathcal{Q} , lösche es aus \mathcal{Q} .
- Teile α in α_0 und α_2 .
Sei α_1 neuer Bogen für p .
- Füge Kanten $\langle q, p \rangle$ und $\langle p, q \rangle$ in \mathcal{D} ein.
- Prüfe $\langle \cdot, \alpha_0, \alpha_1 \rangle$ und $\langle \alpha_1, \alpha_2, \cdot \rangle$ auf Kreis-Events.



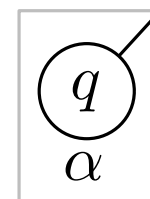
Punkt-Events behandeln

HandlePointEvent(Punkt p)

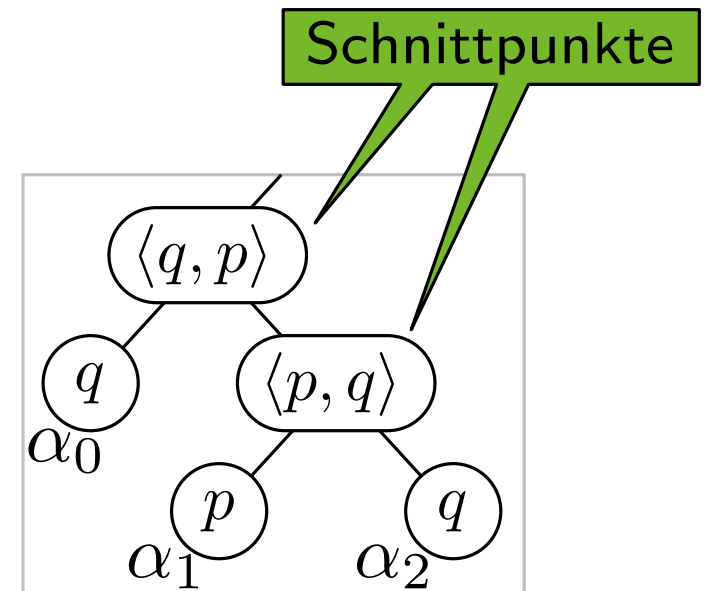
- Suche in \mathcal{T} den Bogen α vertikal über p .
Hat α pointer auf Kreis-Event in \mathcal{Q} , lösche es aus \mathcal{Q} .
- Teile α in α_0 und α_2 .
Sei α_1 neuer Bogen für p .
- Füge Kanten $\langle q, p \rangle$ und $\langle p, q \rangle$ in \mathcal{D} ein.
- Prüfe $\langle \cdot, \alpha_0, \alpha_1 \rangle$ und $\langle \alpha_1, \alpha_2, \cdot \rangle$ auf Kreis-Events.



In \mathcal{T} :



Laufzeit?

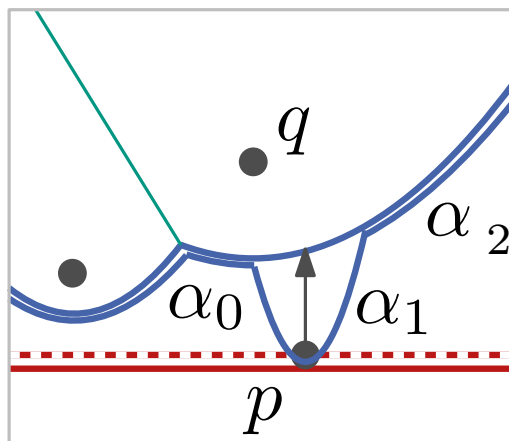


Punkt-Events behandeln

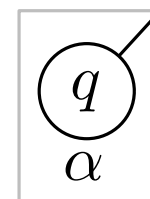
HandlePointEvent(Punkt p)

$O(\log n)$

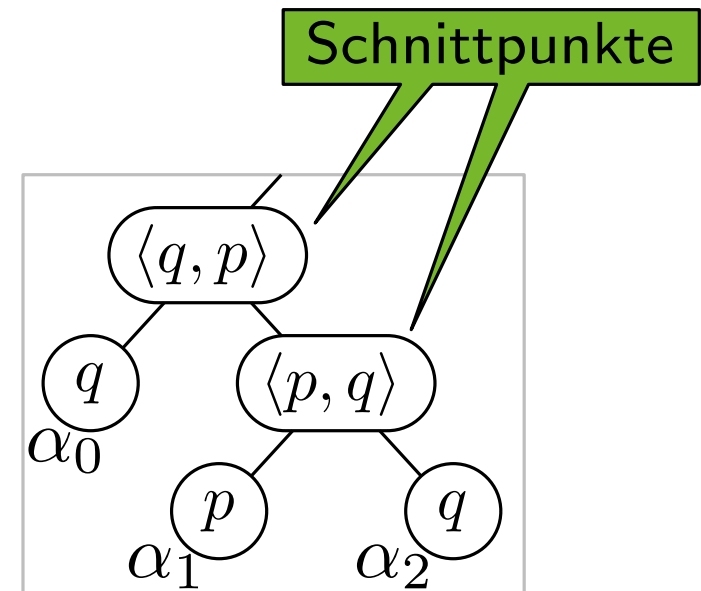
- Suche in \mathcal{T} den Bogen α vertikal über p .
Hat α pointer auf Kreis-Event in \mathcal{Q} , lösche es aus \mathcal{Q} .
- Teile α in α_0 und α_2 .
Sei α_1 neuer Bogen für p .
- Füge Kanten $\langle q, p \rangle$ und $\langle p, q \rangle$ in \mathcal{D} ein.
- Prüfe $\langle \cdot, \alpha_0, \alpha_1 \rangle$ und $\langle \alpha_1, \alpha_2, \cdot \rangle$ auf Kreis-Events.



In \mathcal{T} :

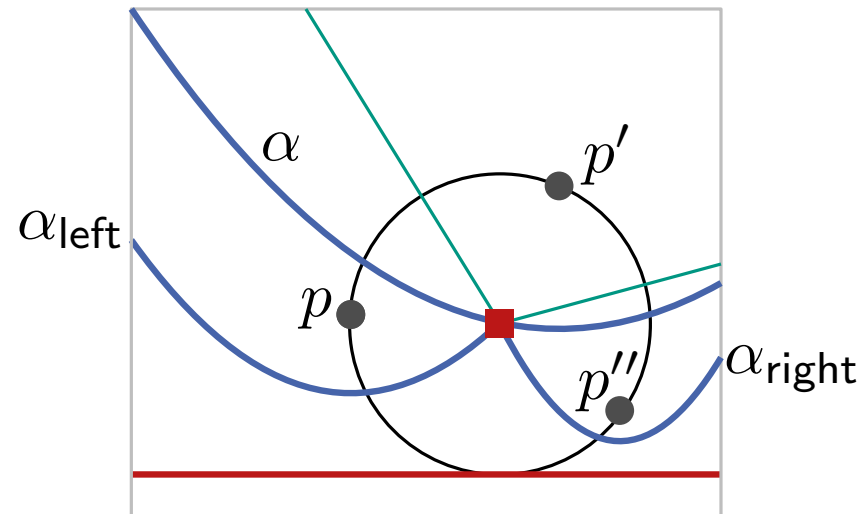


Laufzeit?



Kreis-Events behandeln

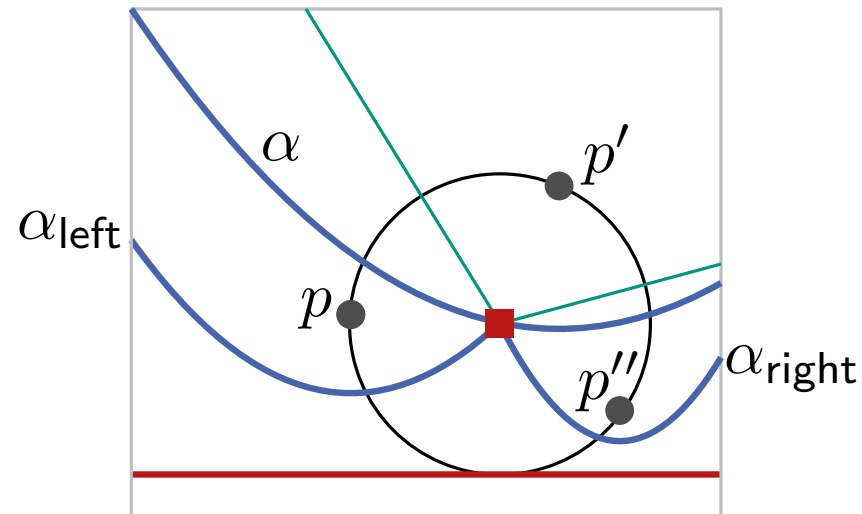
HandleCircleEvent(Bogen α)



Kreis-Events behandeln

HandleCircleEvent(Bogen α)

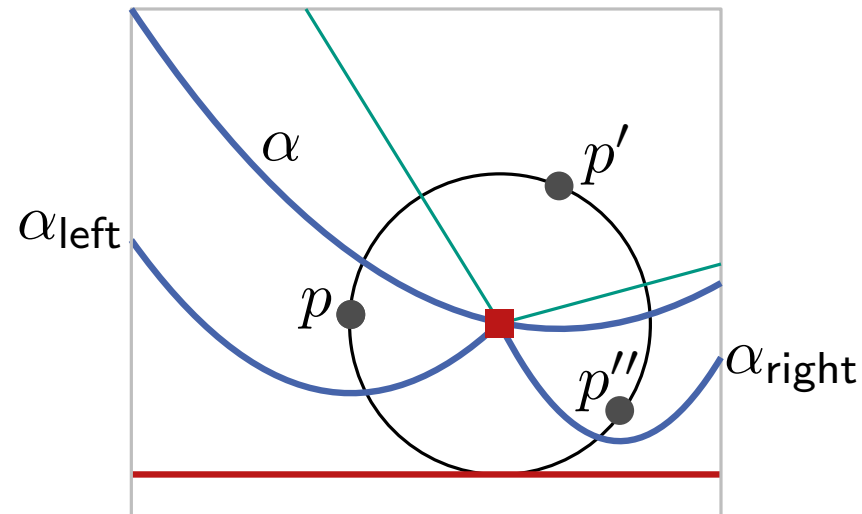
- $\mathcal{T}.delete(\alpha)$; Schnittpunkte in \mathcal{T} updaten



Kreis-Events behandeln

HandleCircleEvent(Bogen α)

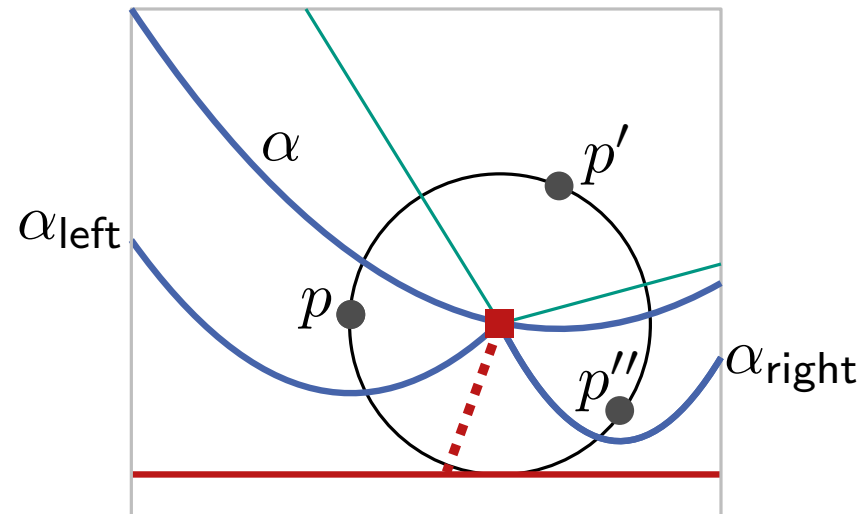
- $\mathcal{T}.delete(\alpha)$; Schnittpunkte in \mathcal{T} updaten
- Entferne alle Kreis-Events zu α aus \mathcal{Q} .



Kreis-Events behandeln

HandleCircleEvent(Bogen α)

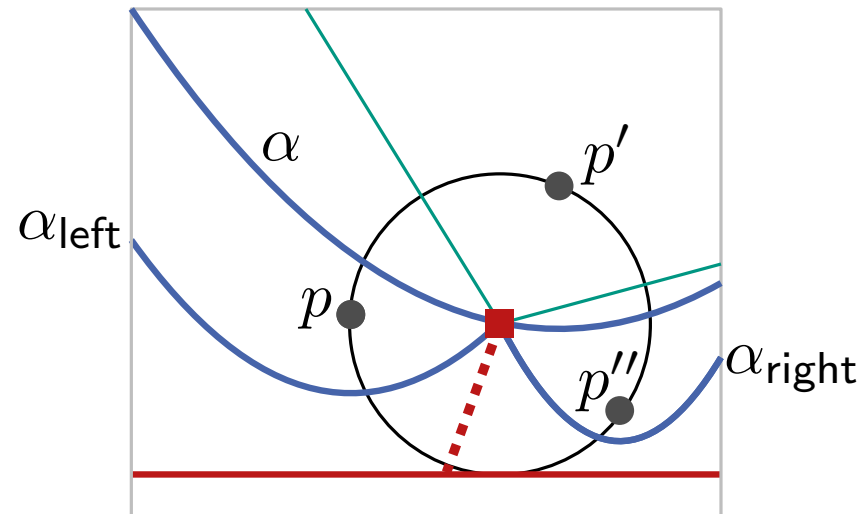
- $\mathcal{T}.\text{delete}(\alpha)$; Schnittpunkte in \mathcal{T} updaten
- Entferne alle Kreis-Events zu α aus \mathcal{Q} .
- Füge Knoten $\mathcal{V}(\{p, p', p''\})$ und Kante $\mathcal{V}(\{p, p''\})$ in \mathcal{D} ein.



Kreis-Events behandeln

HandleCircleEvent(Bogen α)

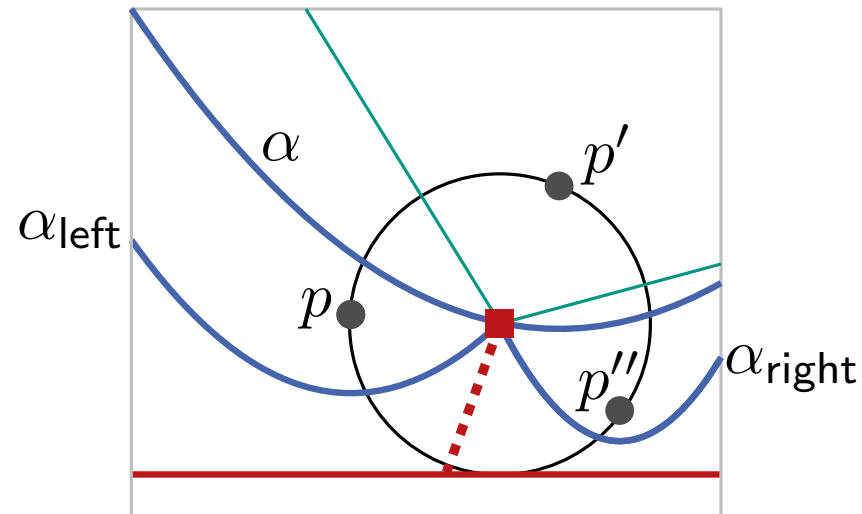
- $\mathcal{T}.\text{delete}(\alpha)$; Schnittpunkte in \mathcal{T} updaten
- Entferne alle Kreis-Events zu α aus \mathcal{Q} .
- Füge Knoten $\mathcal{V}(\{p, p', p''\})$ und Kante $\mathcal{V}(\{p, p''\})$ in \mathcal{D} ein.
- Update potenzielle Kreis-Events $\langle \cdot, \alpha_{\text{left}}, \alpha_{\text{right}} \rangle$ und $\langle \alpha_{\text{left}}, \alpha_{\text{right}}, \cdot \rangle$ in \mathcal{Q} .



Kreis-Events behandeln

HandleCircleEvent(Bogen α)

- $\mathcal{T}.\text{delete}(\alpha)$; Schnittpunkte in \mathcal{T} updaten
- Entferne alle Kreis-Events zu α aus \mathcal{Q} .
- Füge Knoten $\mathcal{V}(\{p, p', p''\})$ und Kante $\mathcal{V}(\{p, p''\})$ in \mathcal{D} ein.
- Update potenzielle Kreis-Events $\langle \cdot, \alpha_{\text{left}}, \alpha_{\text{right}} \rangle$ und $\langle \alpha_{\text{left}}, \alpha_{\text{right}}, \cdot \rangle$ in \mathcal{Q} .



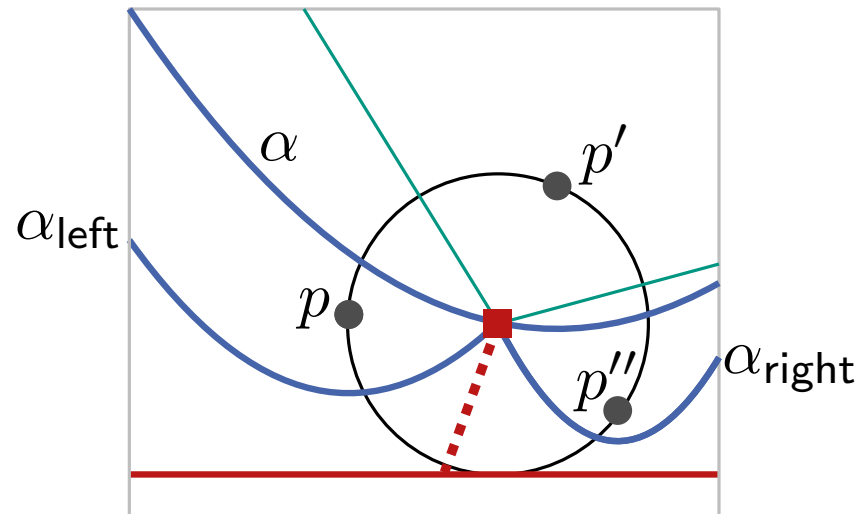
Laufzeit?

Kreis-Events behandeln

HandleCircleEvent(Bogen α)

$O(\log n)$

- $\mathcal{T}.\text{delete}(\alpha)$; Schnittpunkte in \mathcal{T} updaten
- Entferne alle Kreis-Events zu α aus \mathcal{Q} .
- Füge Knoten $\mathcal{V}(\{p, p', p''\})$ und Kante $\mathcal{V}(\{p, p''\})$ in \mathcal{D} ein.
- Update potenzielle Kreis-Events $\langle \cdot, \alpha_{\text{left}}, \alpha_{\text{right}} \rangle$ und $\langle \alpha_{\text{left}}, \alpha_{\text{right}}, \cdot \rangle$ in \mathcal{Q} .



Laufzeit?

Fortune's Sweep Algorithmus

Satz: Für eine Menge P von n Punkten berechnet Fortune's Sweep Algorithmus das Voronoi-Diagramm $\text{Vor}(P)$ in $O(n \log n)$ Zeit und $O(n)$ Platz.

Fortune's Sweep Algorithmus

Satz: Für eine Menge P von n Punkten berechnet Fortune's Sweep Algorithmus das Voronoi-Diagramm $\text{Vor}(P)$ in $O(n \log n)$ Zeit und $O(n)$ Platz.

Beweisskizze:

- jedes Event benötigt $O(\log n)$ Zeit
- n Punkt-Events
- $\leq 2n - 5$ Kreis-Events (= #Knoten von $\text{Vor}(P)$)
- Fehlalarme erzeugen & löschen bereits inklusive

Fortune's Sweep Algorithmus

Satz: Für eine Menge P von n Punkten berechnet Fortune's Sweep Algorithmus das Voronoi-Diagramm $\text{Vor}(P)$ in $O(n \log n)$ Zeit und $O(n)$ Platz.

Beweisskizze:

- jedes Event benötigt $O(\log n)$ Zeit
- n Punkt-Events
- $\leq 2n - 5$ Kreis-Events (= #Knoten von $\text{Vor}(P)$)
- Fehlalarme erzeugen & löschen bereits inklusive

Bemerkung:

degenerierte Eingaben diesmal unproblematisch:

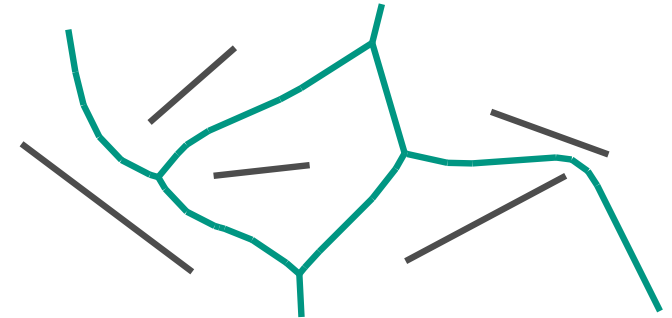
- Kreis-Events vor Punkt-Events, sonst Reihenfolge beliebig
- Kreis-Events für $k \geq 4$ Punkte: Länge-0 Kanten und Knotenduplikate im Postprocessing entfernen
- zweideutiges Punktevent: beliebigen Bogen wählen

Gibt es weitere Varianten von Voronoi-Diagrammen?

Gibt es weitere Varianten von Voronoi-Diagrammen?

Ja! Beispielsweise kann der Algorithmus bei gleicher Laufzeit und Platzbedarf auch für Voronoi-Diagramme von Strecken modifiziert werden.

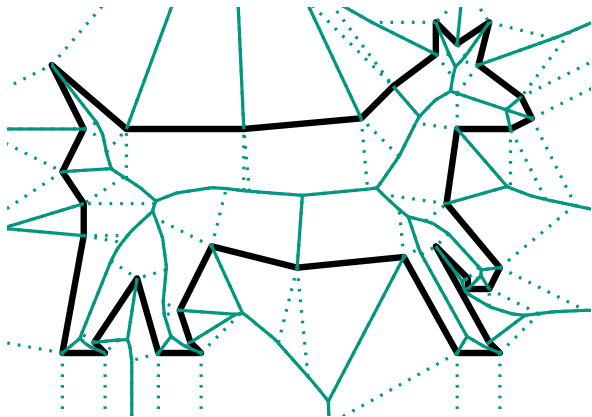
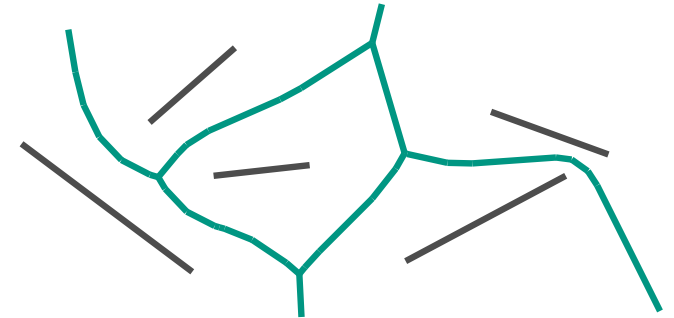
Auch andere Metriken wie L_p oder additiv/multiplikativ gewichtete Voronoi-Diagramme sind möglich.



Gibt es weitere Varianten von Voronoi-Diagrammen?

Ja! Beispielsweise kann der Algorithmus bei gleicher Laufzeit und Platzbedarf auch für Voronoi-Diagramme von Strecken modifiziert werden.

Auch andere Metriken wie L_p oder additiv/multiplikativ gewichtete Voronoi-Diagramme sind möglich.



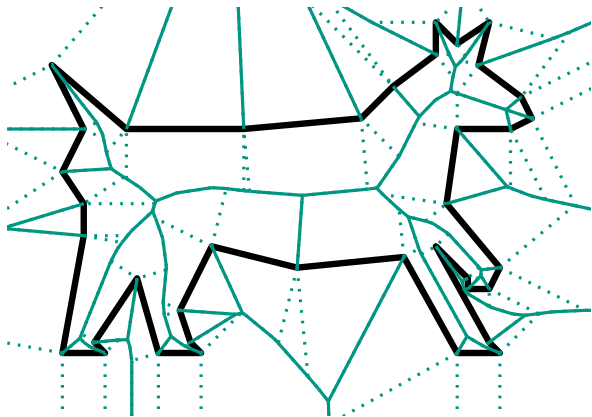
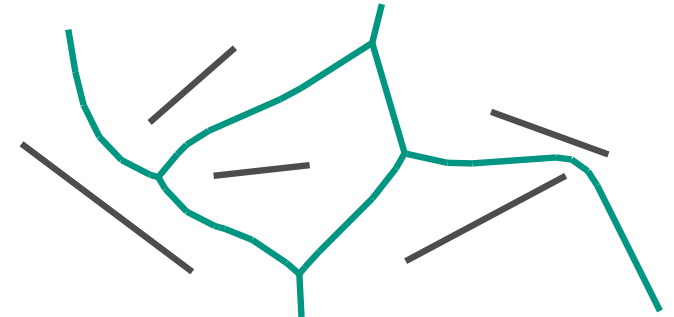
Voronoi-Diagramm für Polygone definieren die sog. Mittelachse, die z.B. in der Bildverarbeitung wichtig ist.

Auch farthest-point Voronoi-Diagramme sind möglich.

Gibt es weitere Varianten von Voronoi-Diagrammen?

Ja! Beispielsweise kann der Algorithmus bei gleicher Laufzeit und Platzbedarf auch für Voronoi-Diagramme von Strecken modifiziert werden.

Auch andere Metriken wie L_p oder additiv/multiplikativ gewichtete Voronoi-Diagramme sind möglich.



Voronoi-Diagramm für Polygone definieren die sog. Mittelachse, die z.B. in der Bildverarbeitung wichtig ist.

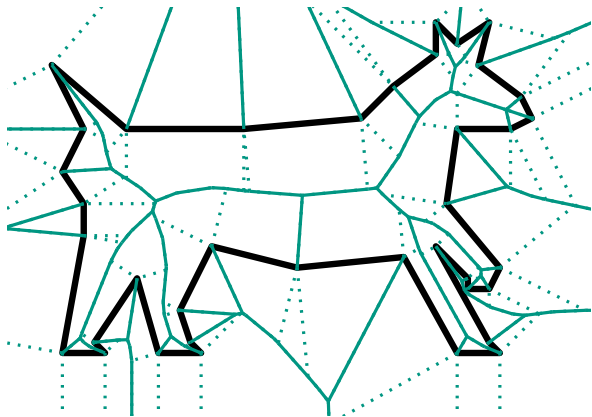
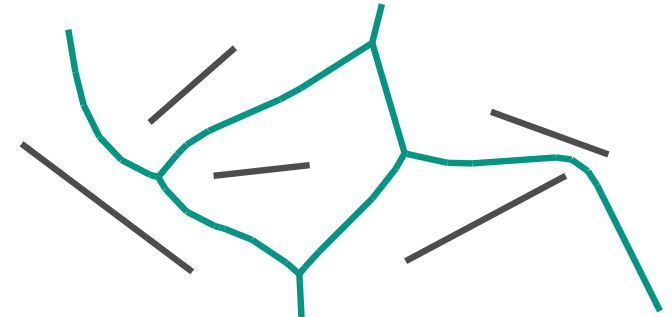
Auch farthest-point Voronoi-Diagramme sind möglich.

Was passiert in höheren Dimensionen?

Gibt es weitere Varianten von Voronoi-Diagrammen?

Ja! Beispielsweise kann der Algorithmus bei gleicher Laufzeit und Platzbedarf auch für Voronoi-Diagramme von Strecken modifiziert werden.

Auch andere Metriken wie L_p oder additiv/multiplikativ gewichtete Voronoi-Diagramme sind möglich.



Voronoi-Diagramm für Polygone definieren die sog. Mittelachse, die z.B. in der Bildverarbeitung wichtig ist.

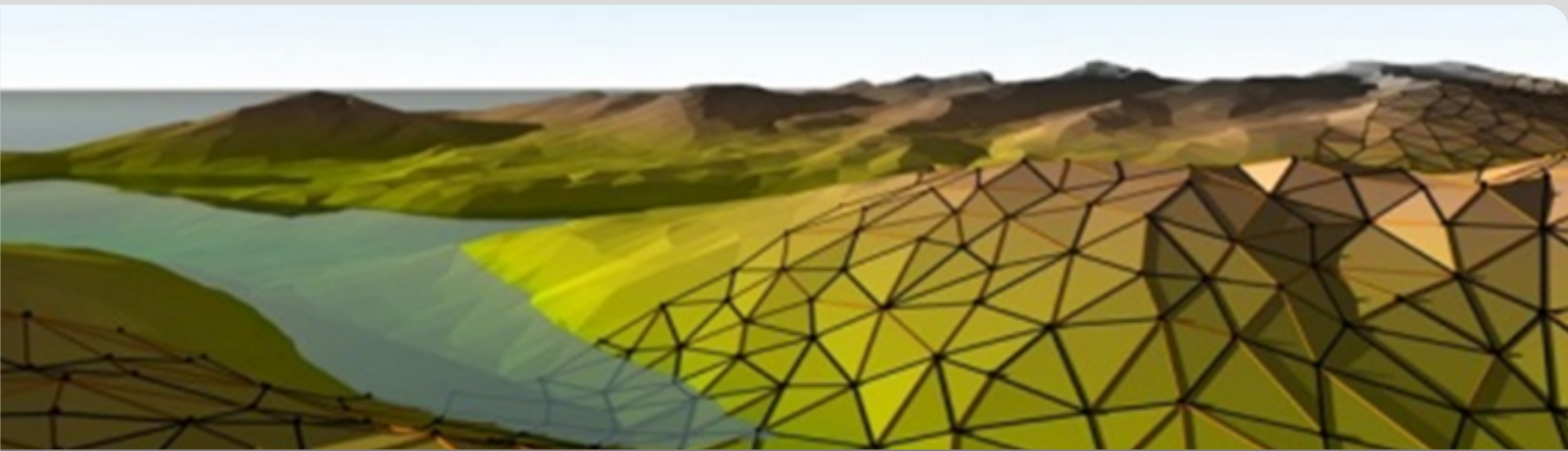
Auch farthest-point Voronoi-Diagramme sind möglich.

Was passiert in höheren Dimensionen?

Die Komplexität von $\text{Vor}(P)$ steigt auf $\Theta(n^{\lceil d/2 \rceil})$ und die Laufzeit zur Berechnung auf $O(n \log n + n^{\lceil d/2 \rceil})$.

Anregungen aus der Zwischenevaluation

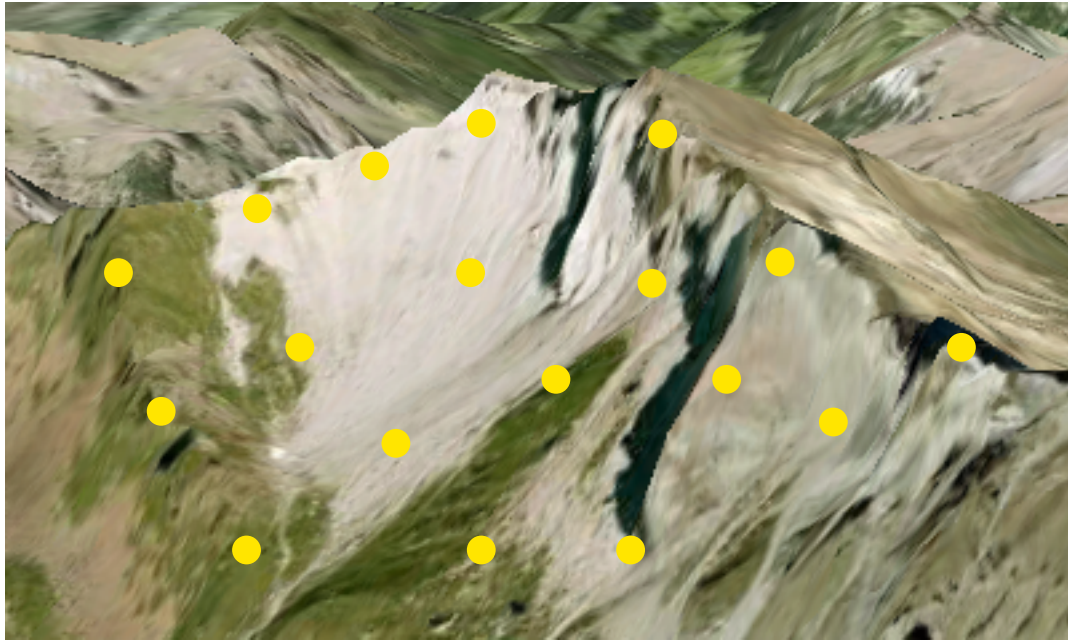
- **Druckversion der Folien**
ab sofort online verfügbar
- **Beweise und Tafel/Folien**
alle Beweise in der Literatur (meist [BCKO08]) detailliert nachlesbar
- **Musterlösung für Übungsblätter**
Andreas wird die Lösungsideen schriftlich skizzieren
- **Folien schneller und fehlerfrei online stellen**
sind auch bisher immer kurz nach der Vorlesung verfügbar;
bei Fehlern bitte Bescheid geben!



Delaunay-Triangulierungen

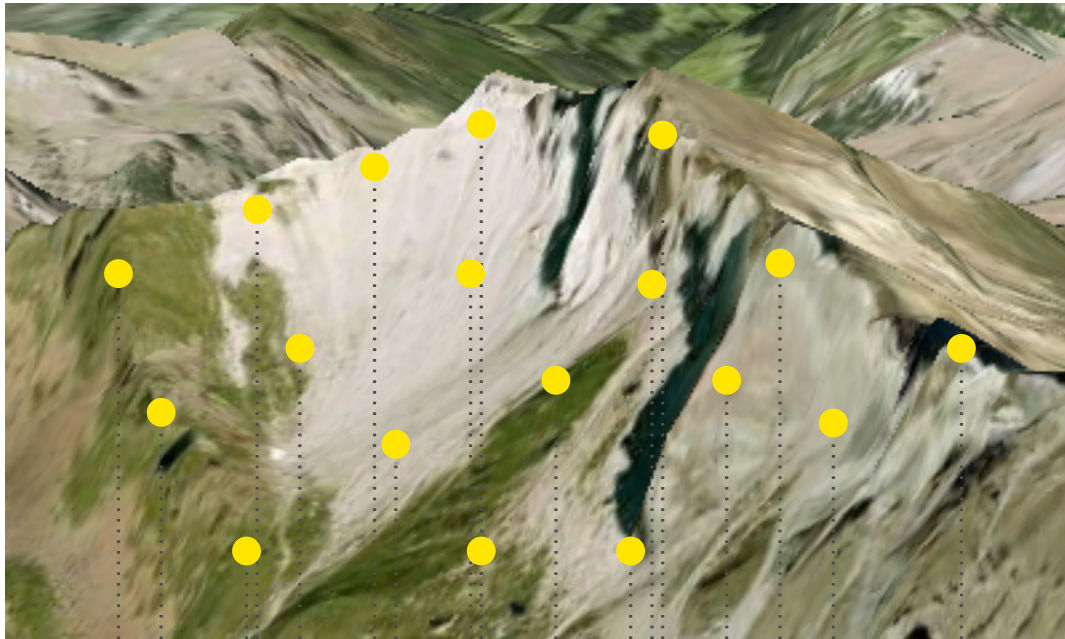


Grafik © Rodrigo I. Silveira



Höhenmesspunkte

$$p = (x_p, y_p, z_p)$$



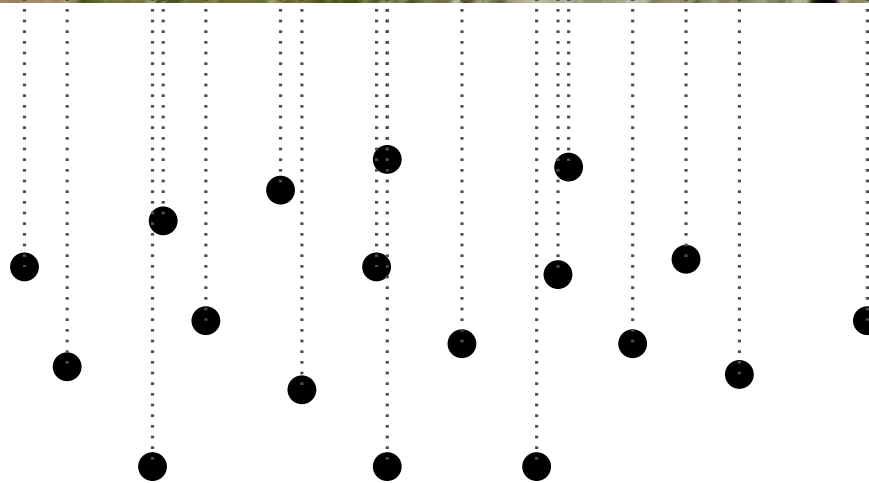
Höhenmesspunkte

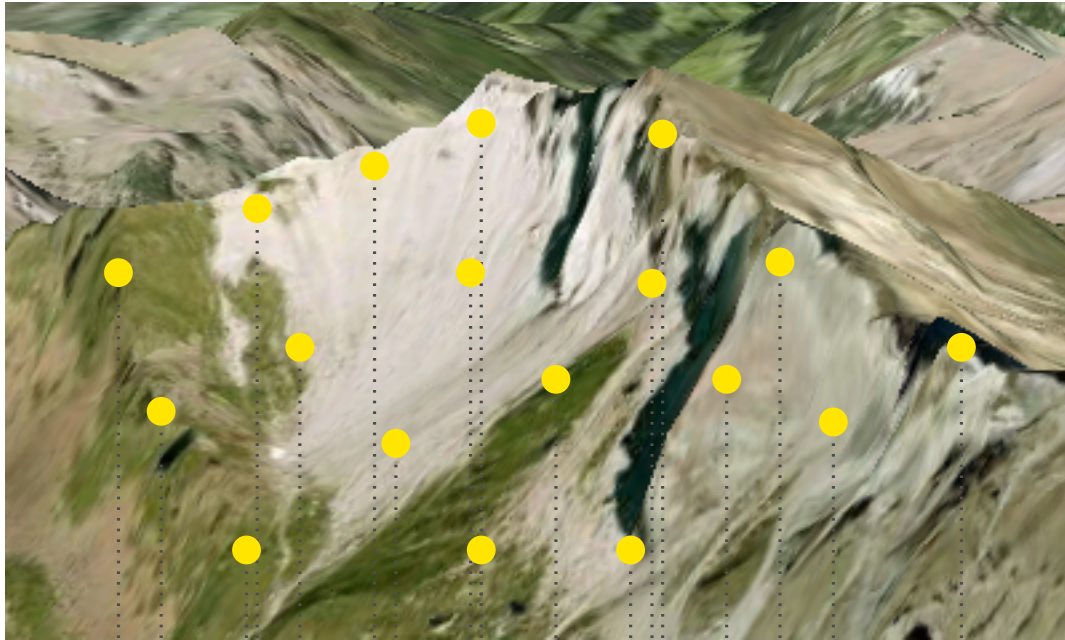
$$p = (x_p, y_p, z_p)$$



Projektion

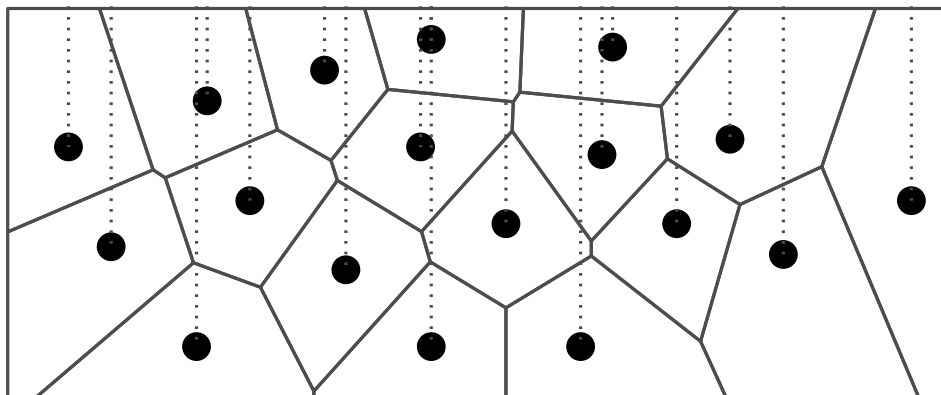
$$\pi(p) = (p_x, p_y, 0)$$





Höhenmesspunkte

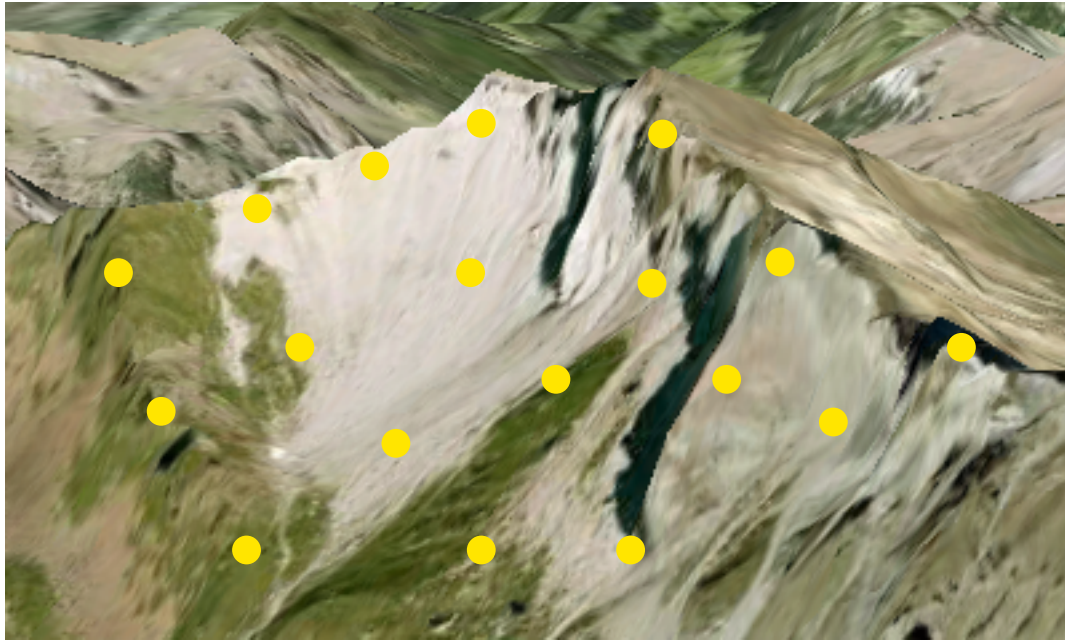
$$p = (x_p, y_p, z_p)$$



Projektion

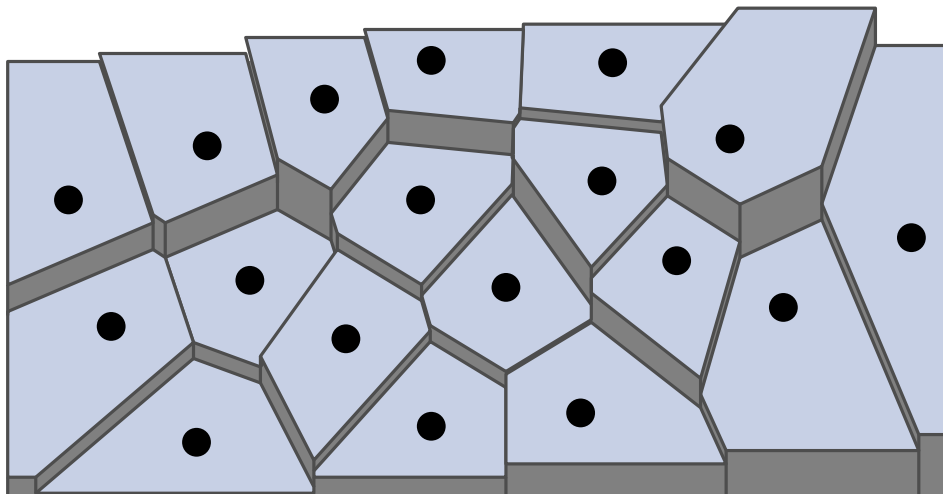
$$\pi(p) = (p_x, p_y, 0)$$

Interpolation 1: jeder Punkt bekommt Höhe des nächsten Messpunktes



Höhenmesspunkte

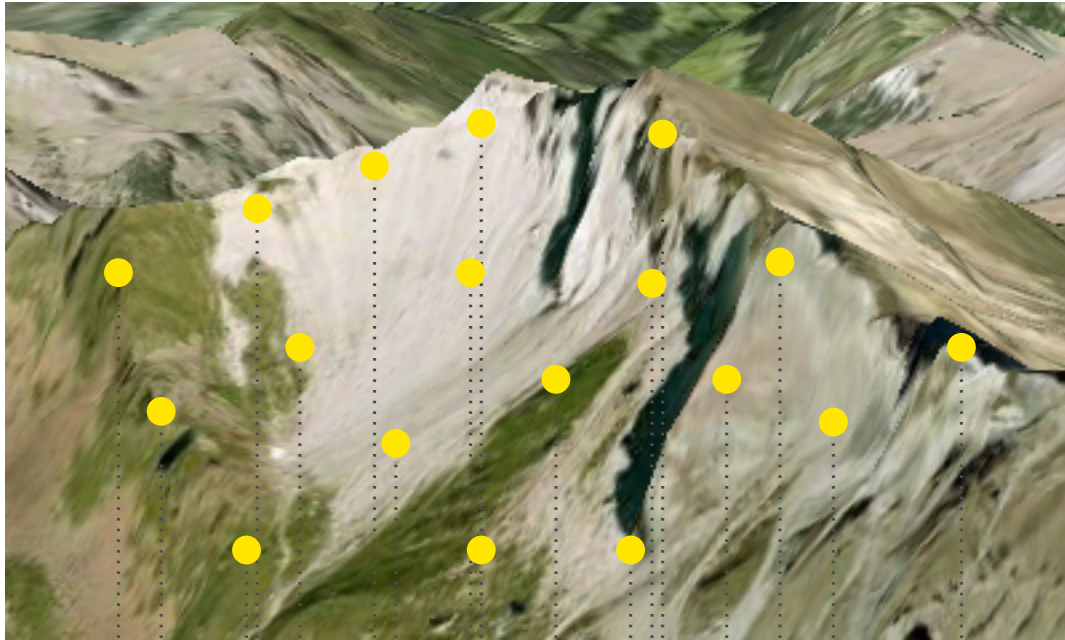
$$p = (x_p, y_p, z_p)$$



Projektion

$$\pi(p) = (p_x, p_y, 0)$$

Interpolation 1: jeder Punkt bekommt Höhe des nächsten Messpunktes



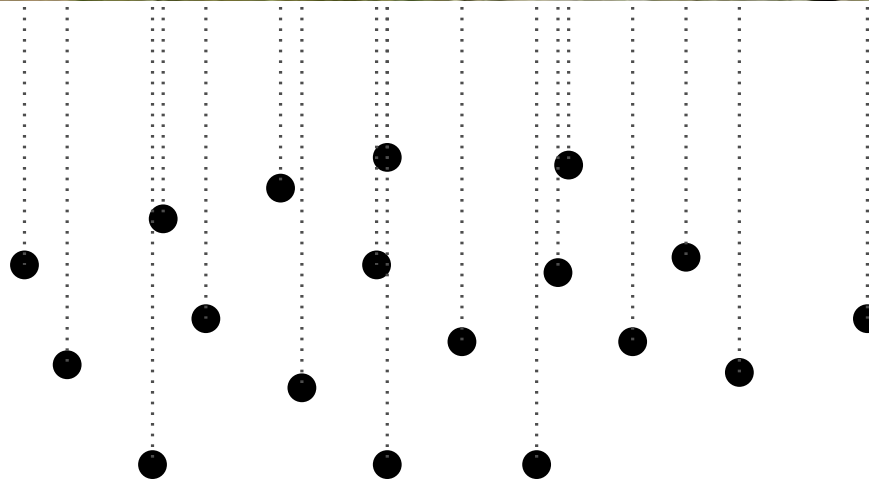
Höhenmesspunkte

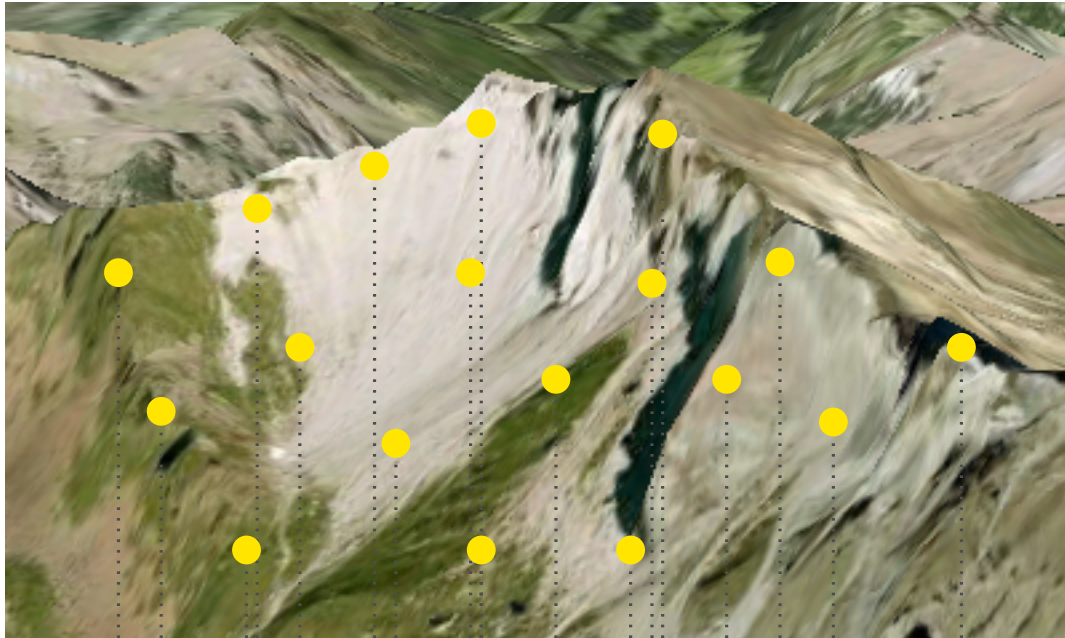
$$p = (x_p, y_p, z_p)$$



Projektion

$$\pi(p) = (p_x, p_y, 0)$$





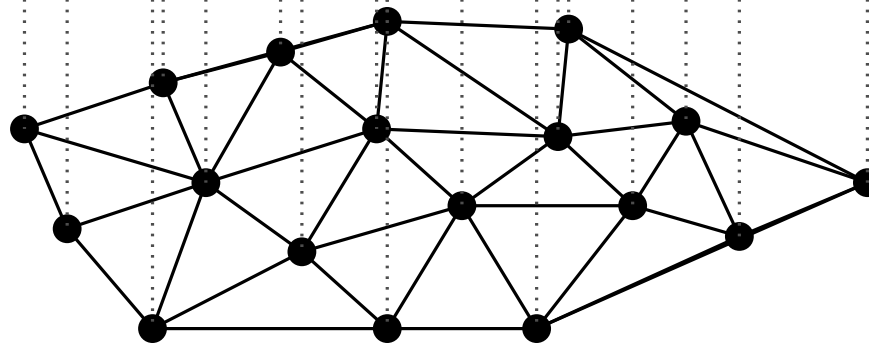
Höhenmesspunkte

$$p = (x_p, y_p, z_p)$$

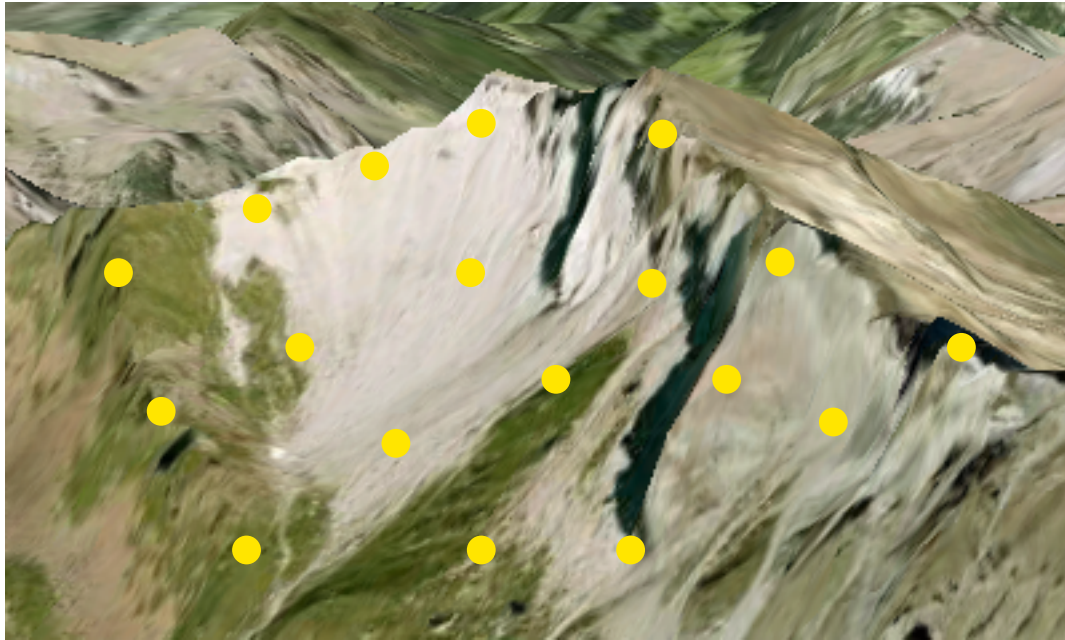


Projektion

$$\pi(p) = (p_x, p_y, 0)$$



Interpolation 2: trianguliere Messpunkte und interpoliere auf Dreiecken



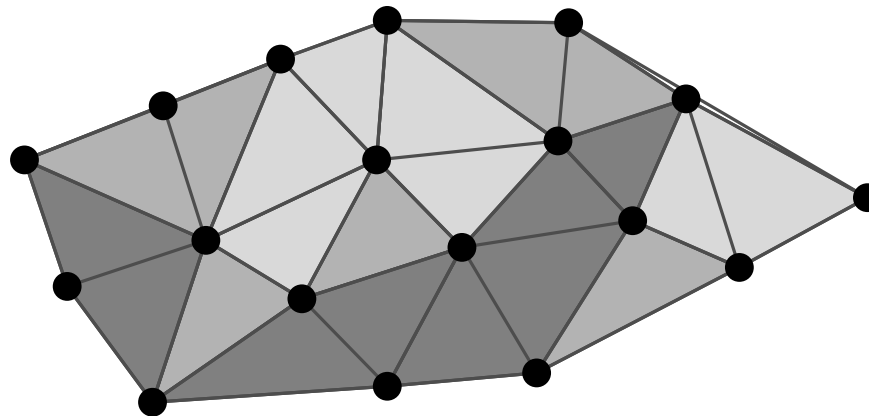
Höhenmesspunkte

$$p = (x_p, y_p, z_p)$$

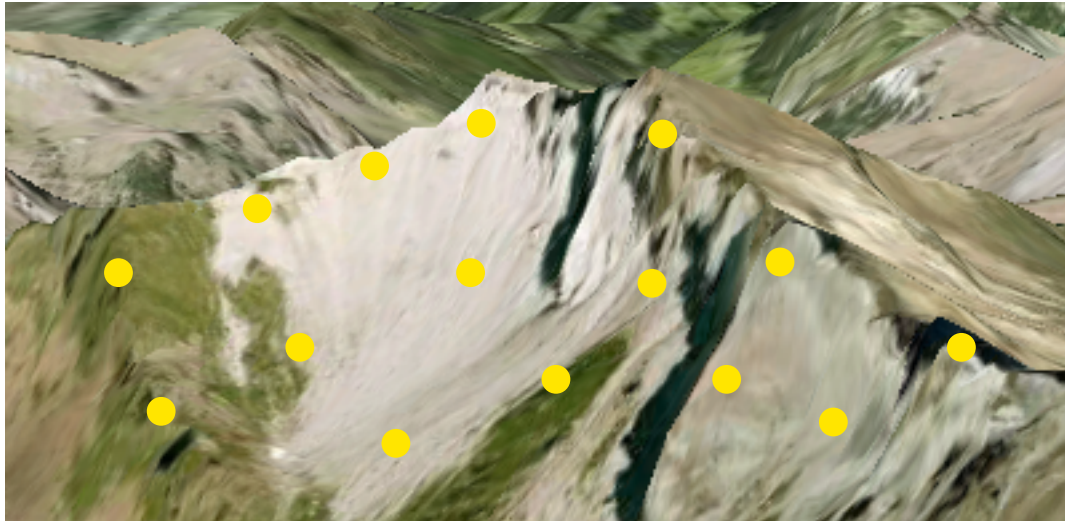


Projektion

$$\pi(p) = (p_x, p_y, 0)$$

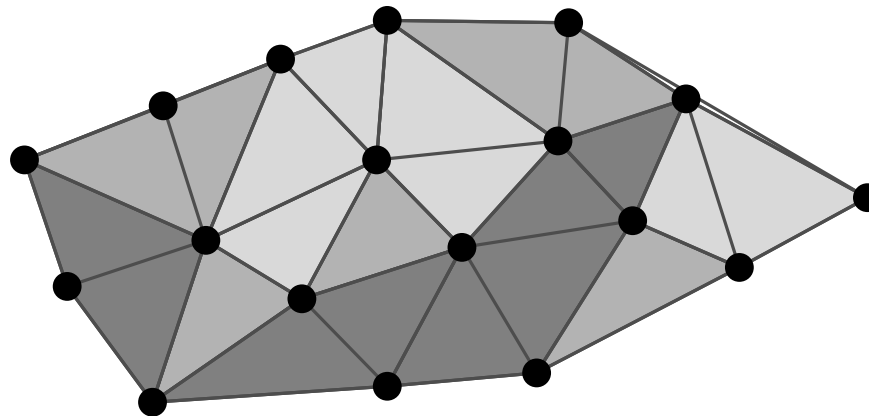


Interpolation 2: trianguliere Messpunkte und interpoliere auf Dreiecken



Höhenmesspunkte
 $p = (x_p, y_p, z_p)$

Aber wie sieht eine gute Triangulierung aus?

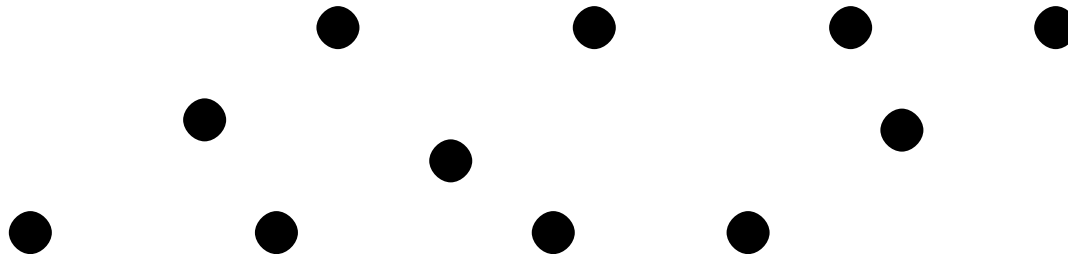


Projektion
 $\pi(p) = (p_x, p_y, 0)$

Interpolation 2: trianguliere Messpunkte und interpoliere auf Dreiecken

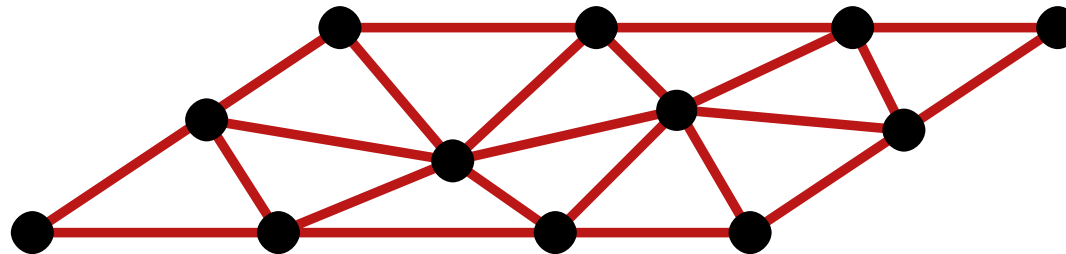
Triangulierung von Punkten

Def.: Eine **Triangulierung** einer Punktmenge $P \subset \mathbb{R}^2$ ist eine maximale planare Unterteilung mit Knotenmenge P .



Triangulierung von Punkten

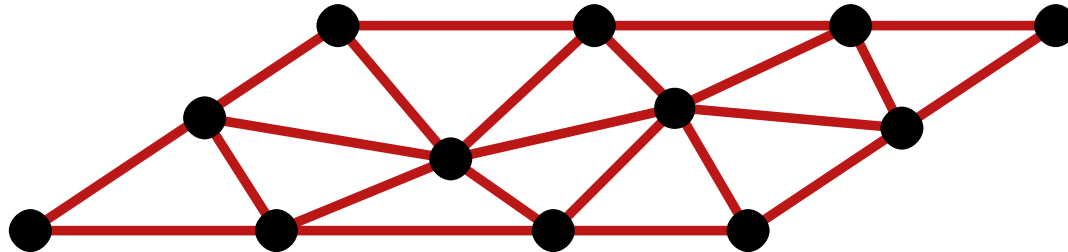
Def.: Eine **Triangulierung** einer Punktmenge $P \subset \mathbb{R}^2$ ist eine maximale planare Unterteilung mit Knotenmenge P .



Beob.:

Triangulierung von Punkten

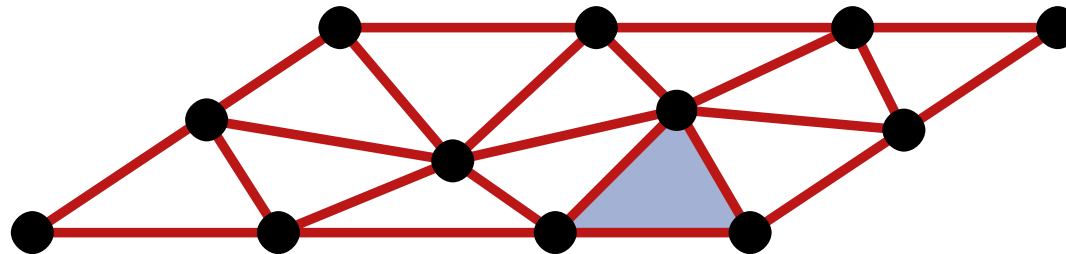
Def.: Eine **Triangulierung** einer Punktmenge $P \subset \mathbb{R}^2$ ist eine maximale planare Unterteilung mit Knotenmenge P .



Beob.: ■ alle inneren Facetten sind Dreiecke

Triangulierung von Punkten

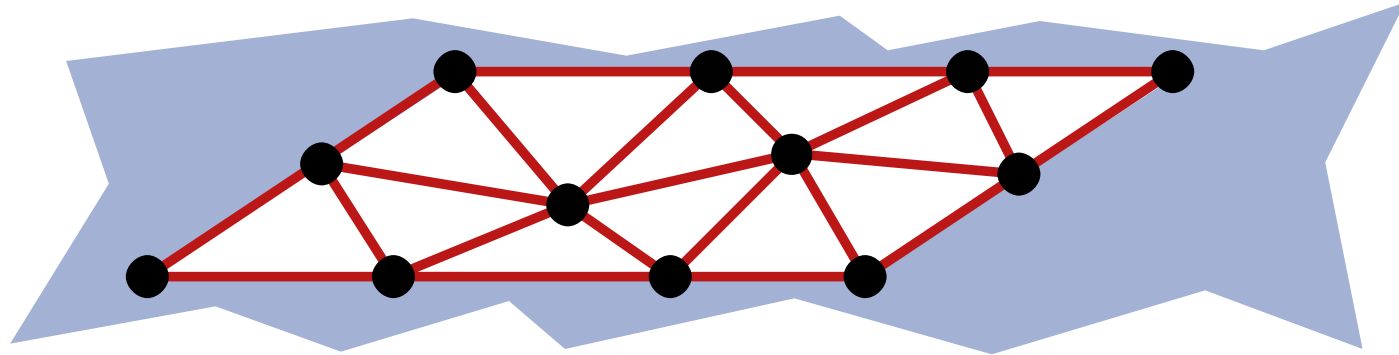
Def.: Eine **Triangulierung** einer Punktmenge $P \subset \mathbb{R}^2$ ist eine maximale planare Unterteilung mit Knotenmenge P .



Beob.: ■ alle inneren Facetten sind Dreiecke

Triangulierung von Punkten

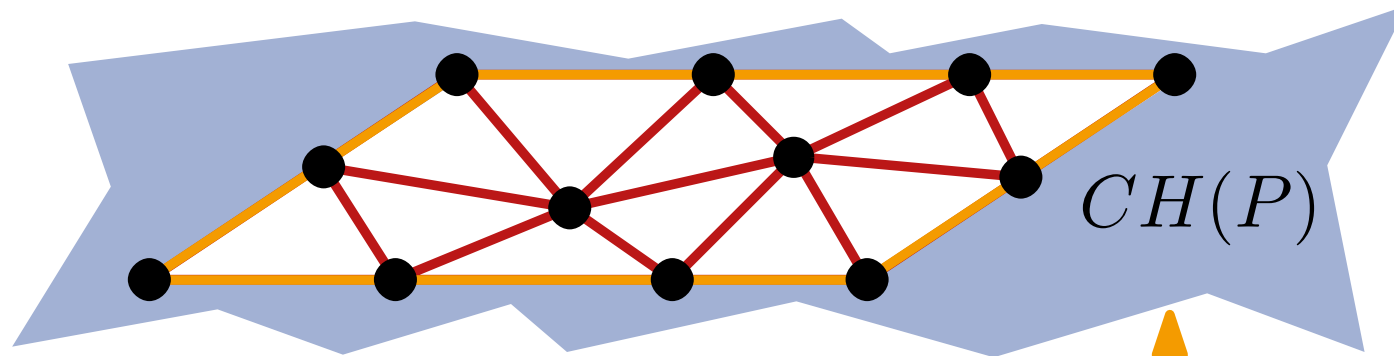
Def.: Eine **Triangulierung** einer Punktmenge $P \subset \mathbb{R}^2$ ist eine maximale planare Unterteilung mit Knotenmenge P .



- Beob.:**
- alle inneren Facetten sind Dreiecke
 - äußere Facette ist Komplement der konvexen Hülle

Triangulierung von Punkten

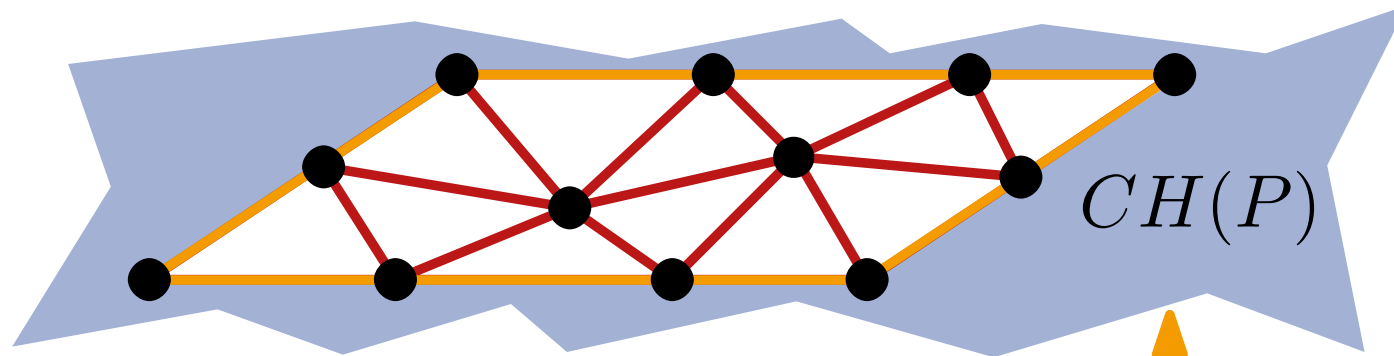
Def.: Eine **Triangulierung** einer Punktmenge $P \subset \mathbb{R}^2$ ist eine maximale planare Unterteilung mit Knotenmenge P .



- Beob.:**
- alle inneren Facetten sind Dreiecke
 - äußere Facette ist Komplement der konvexen Hülle

Triangulierung von Punkten

Def.: Eine **Triangulierung** einer Punktmenge $P \subset \mathbb{R}^2$ ist eine maximale planare Unterteilung mit Knotenmenge P .



Beob.:

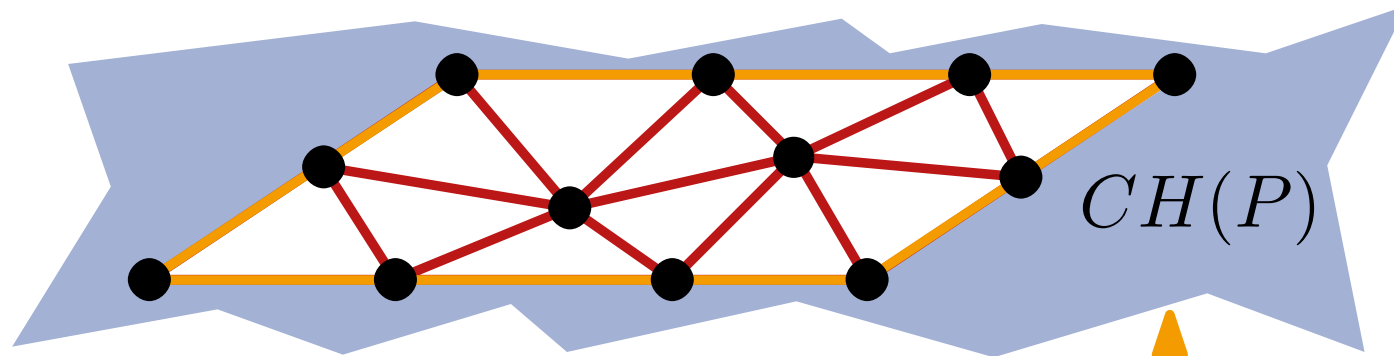
- alle inneren Facetten sind Dreiecke
- äußere Facette ist Komplement der konvexen Hülle

Satz 1: Sei P eine Menge von n nicht kollinearen Punkten und h die Anzahl Punkte auf $CH(P)$.

Dann hat *jede* Triangulierung von P $t(n, h)$ Dreiecke und $e(n, h)$ Kanten.

Triangulierung von Punkten

Def.: Eine **Triangulierung** einer Punktmenge $P \subset \mathbb{R}^2$ ist eine maximale planare Unterteilung mit Knotenmenge P .



Beob.:

- alle inneren Facetten sind Dreiecke
- äußere Facette ist Komplement der konvexen Hülle

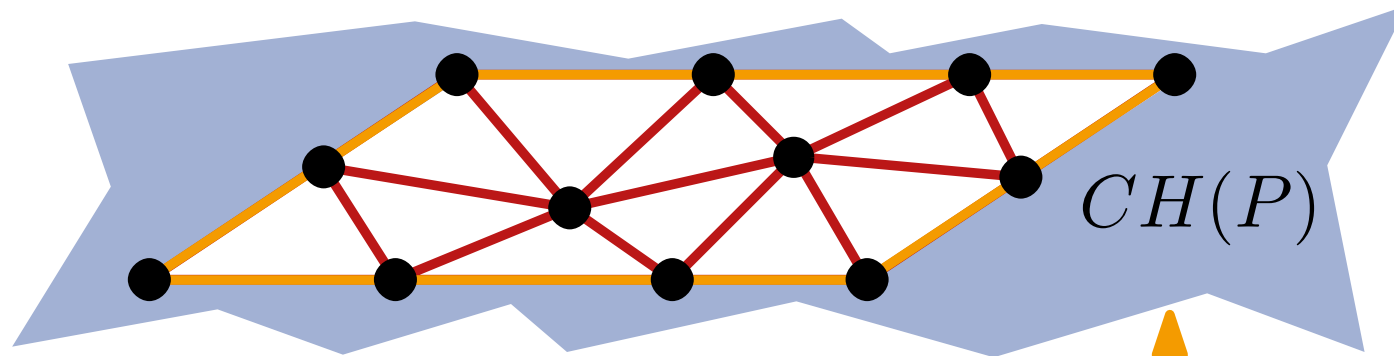
Satz 1: Sei P eine Menge von n nicht kollinearen Punkten und h die Anzahl Punkte auf $CH(P)$.

Dann hat *jede* Triangulierung von P $t(n, h)$ Dreiecke und $e(n, h)$ Kanten.

Berechne t und e !

Triangulierung von Punkten

Def.: Eine **Triangulierung** einer Punktmenge $P \subset \mathbb{R}^2$ ist eine maximale planare Unterteilung mit Knotenmenge P .



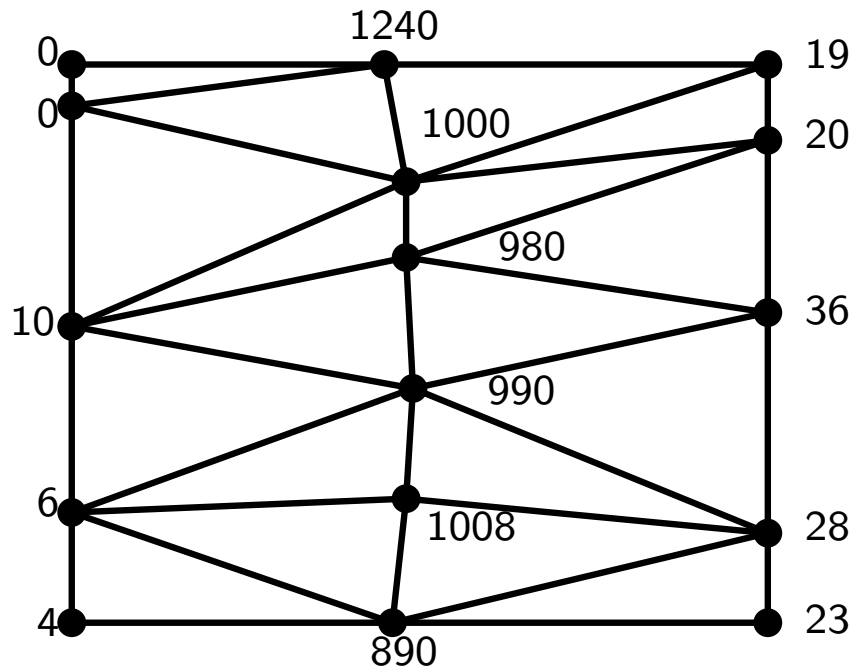
Beob.:

- alle inneren Facetten sind Dreiecke
- äußere Facette ist Komplement der konvexen Hülle

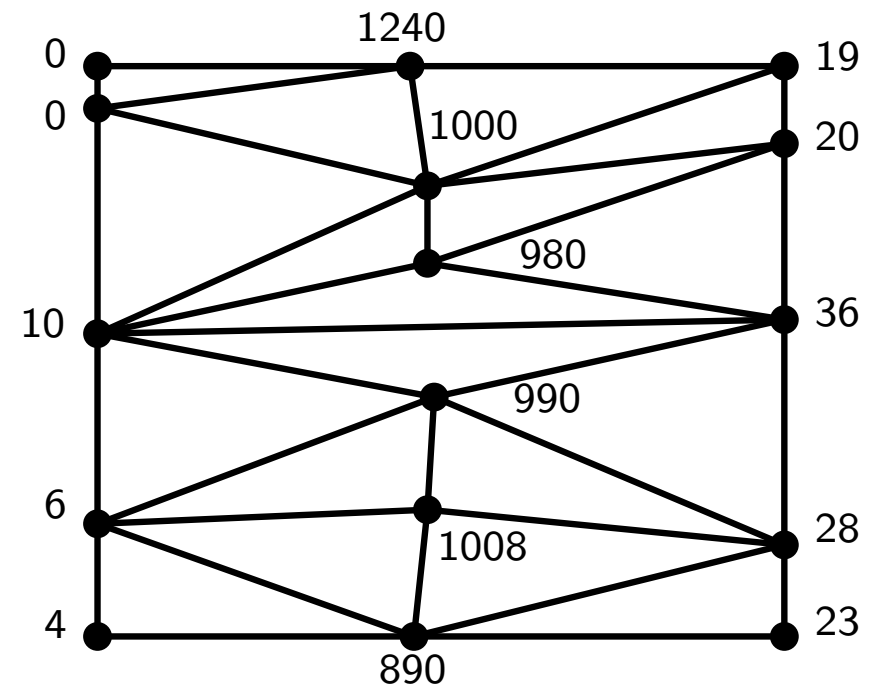
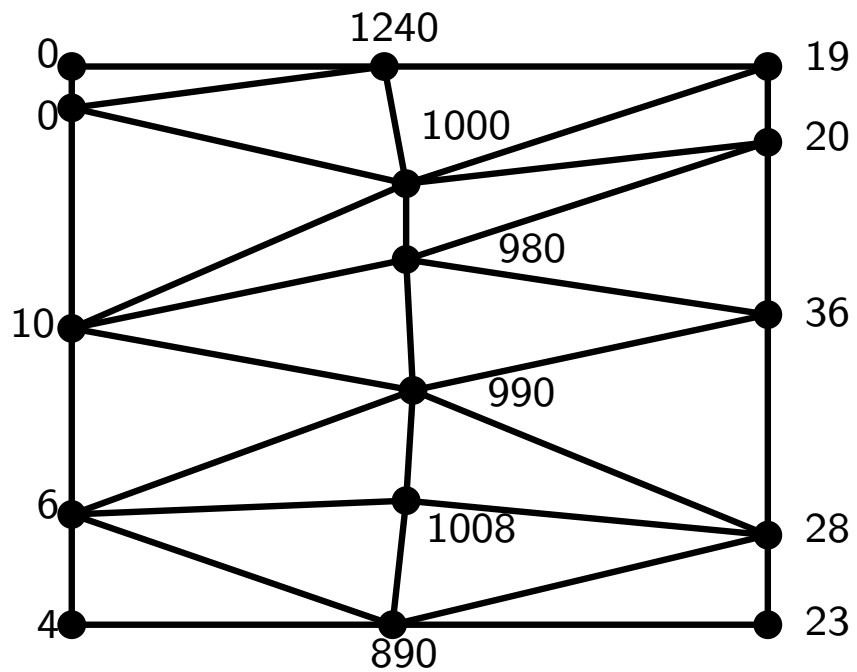
Satz 1: Sei P eine Menge von n nicht kollinearen Punkten und h die Anzahl Punkte auf $CH(P)$.

Dann hat *jede* Triangulierung von P $(2n - 2 - h)$ Dreiecke und $(3n - 3 - h)$ Kanten.

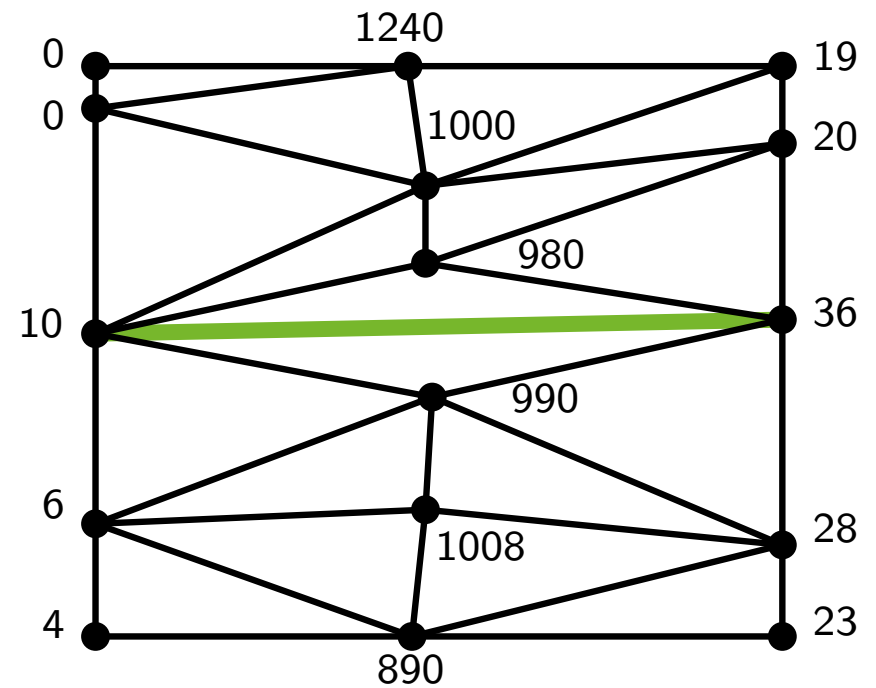
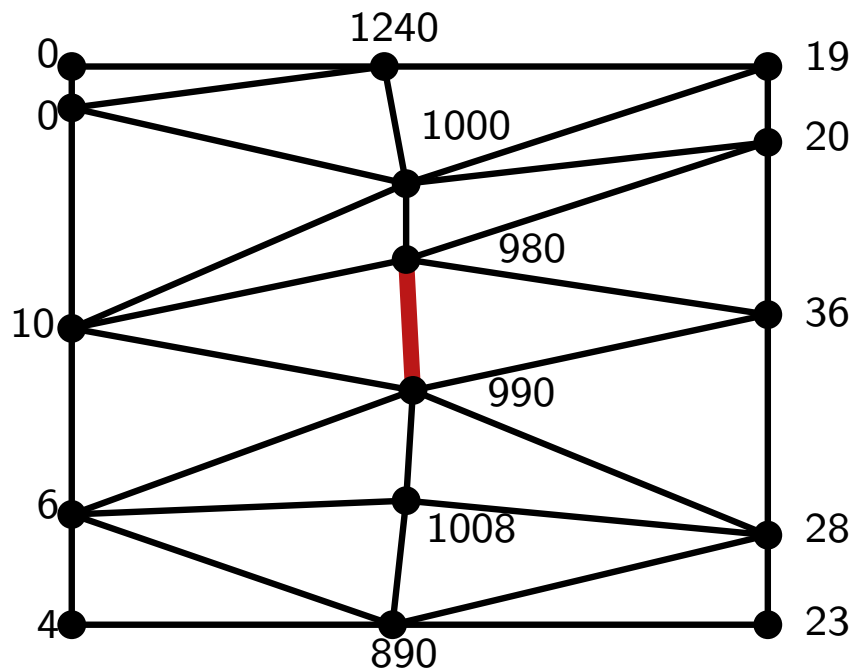
Zurück zur Höheninterpolation



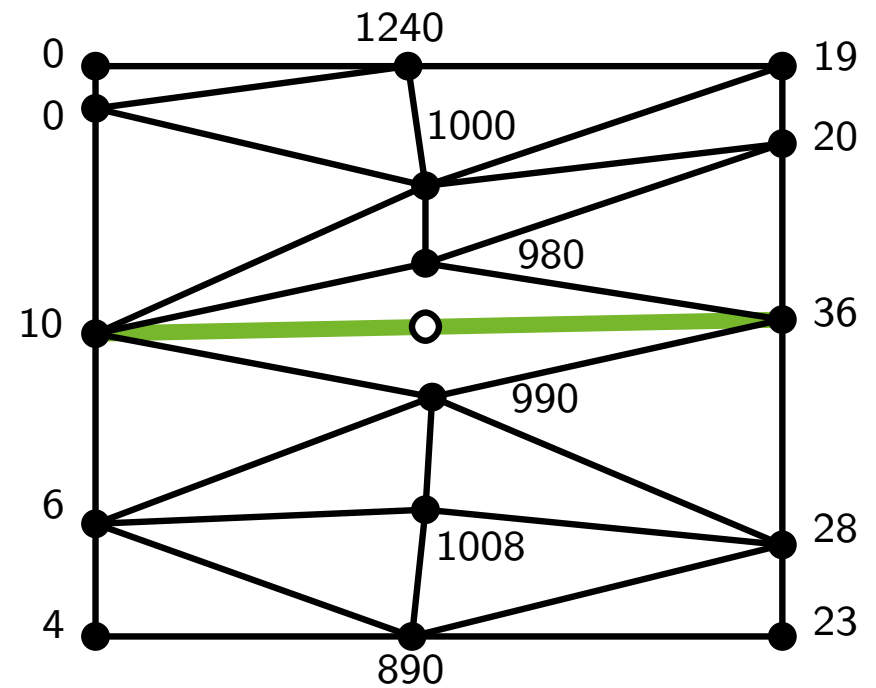
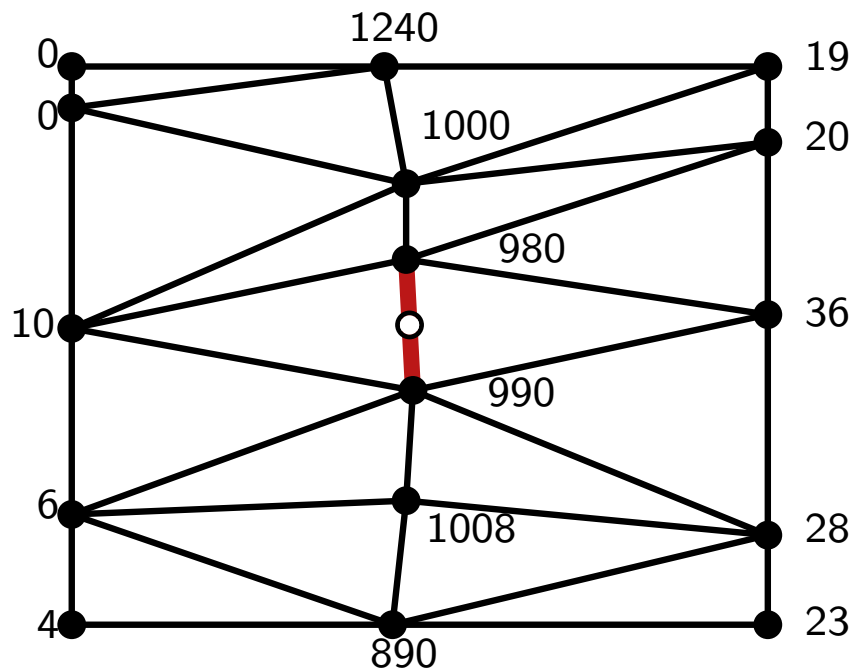
Zurück zur Höheninterpolation



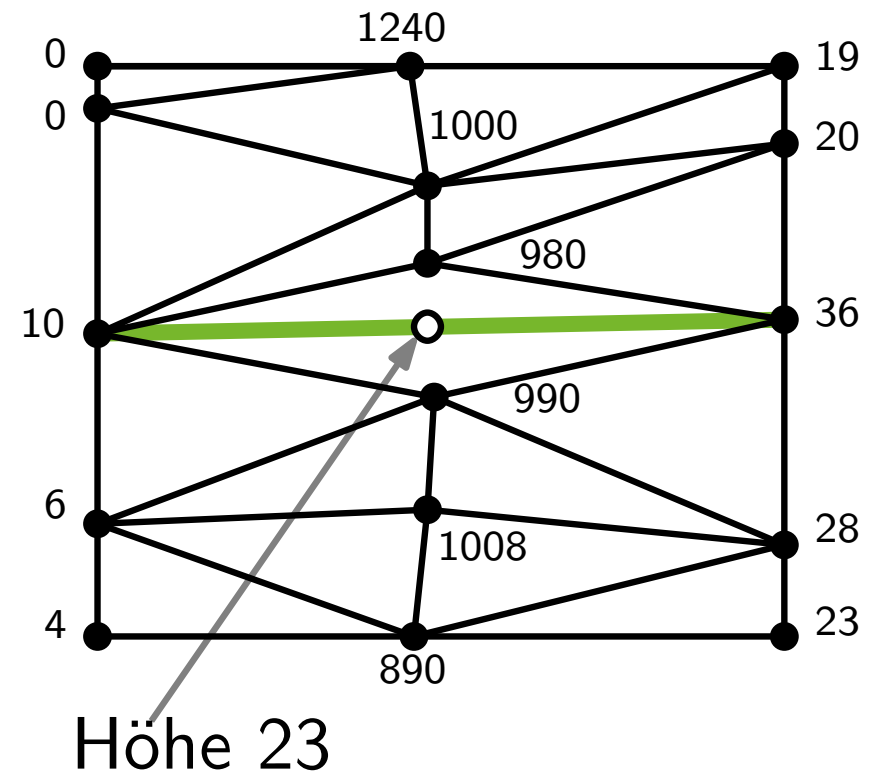
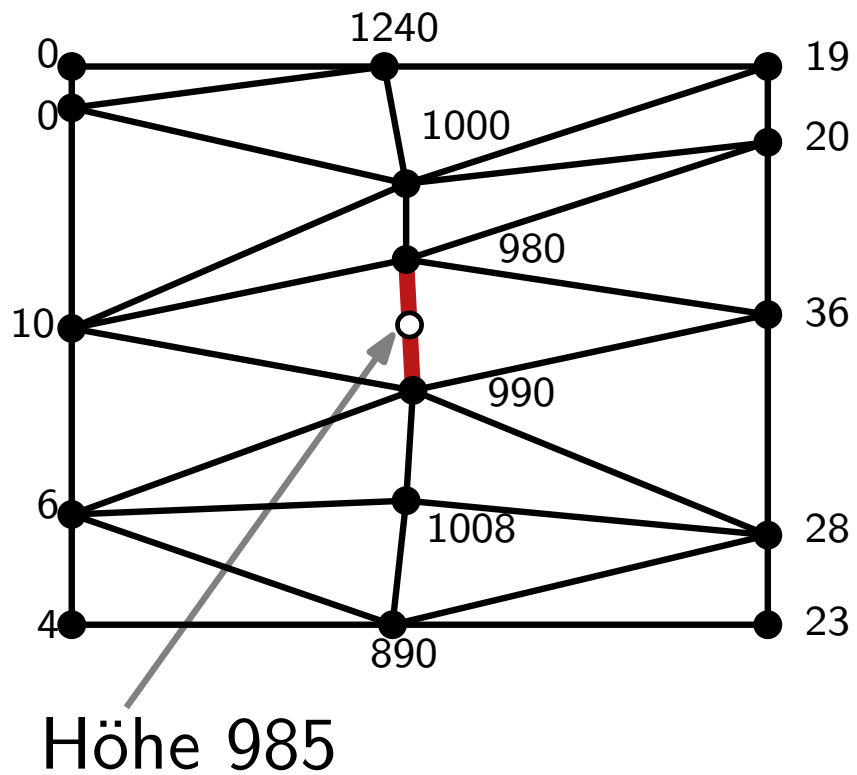
Zurück zur Höheninterpolation



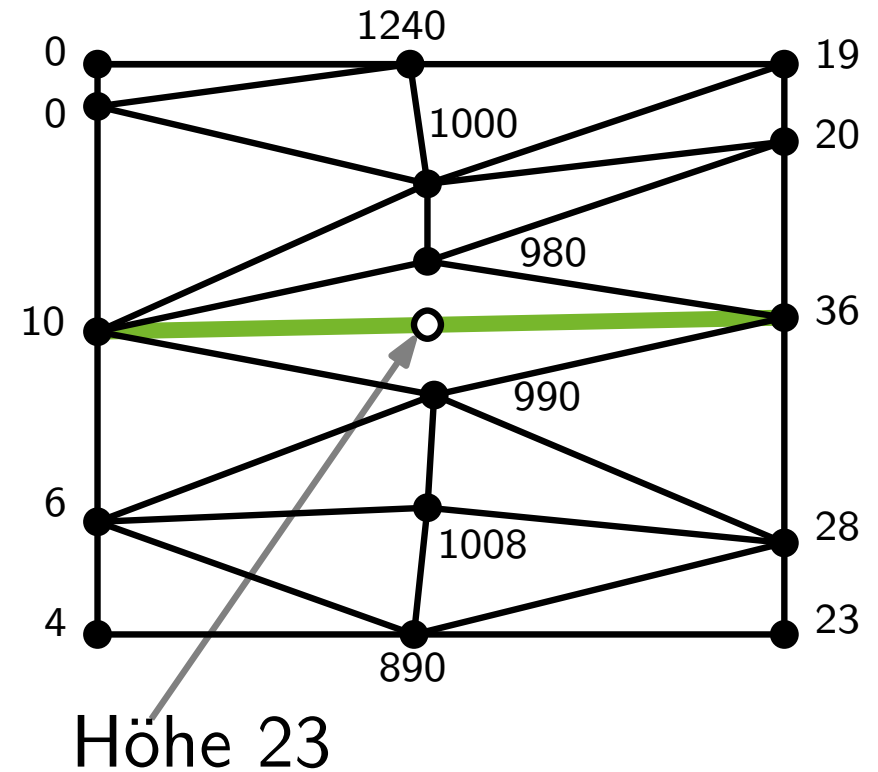
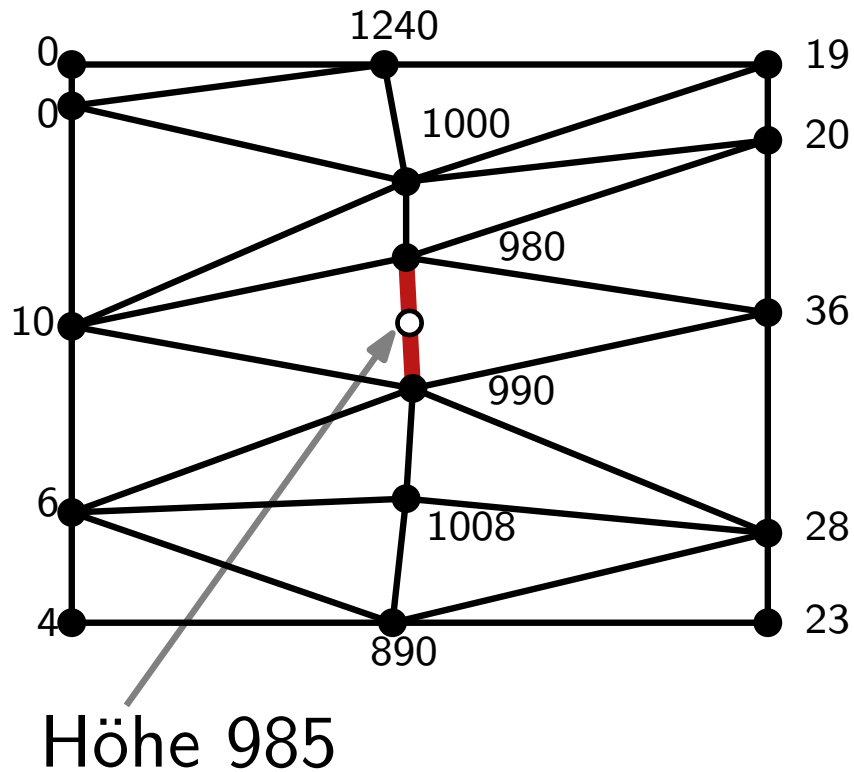
Zurück zur Höheninterpolation



Zurück zur Höheninterpolation

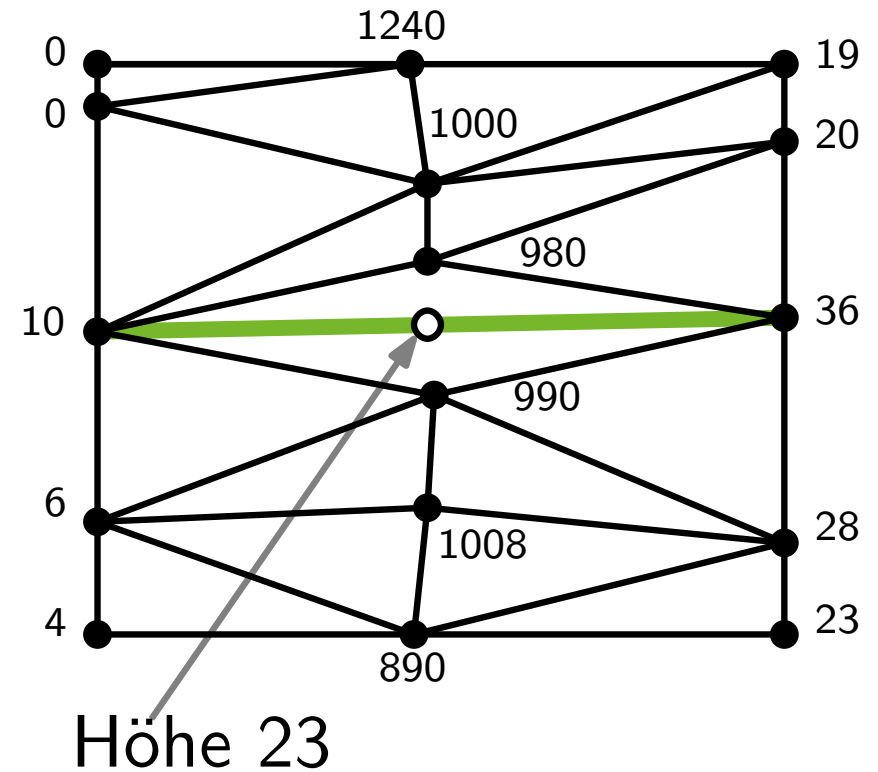
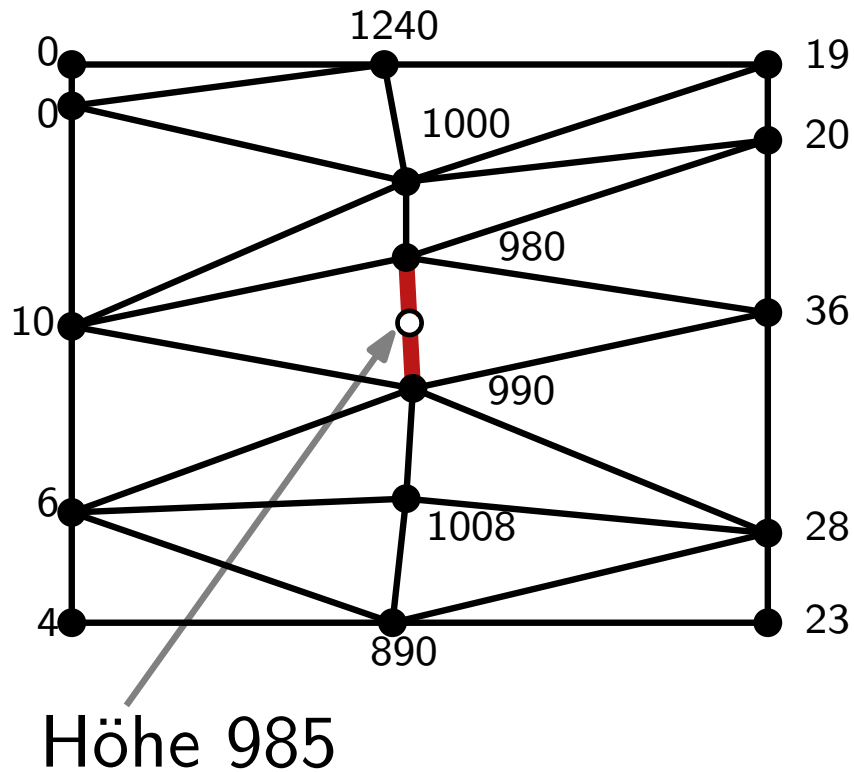


Zurück zur Höheninterpolation



Intuitiv: Vermeide zu schmale Dreiecke!

Zurück zur Höheninterpolation

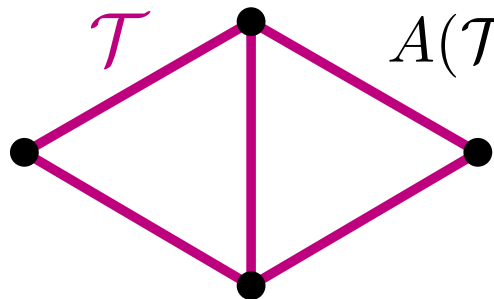


Intuitiv: Vermeide zu schmale Dreiecke!

Oder: maximiere die kleinsten Dreieckswinkel!

Winkeloptimale Triangulierungen

Def.: Sei $P \subset \mathbb{R}^2$ eine Punktmenge, \mathcal{T} eine Triangulierung von P und m die Anzahl der Dreiecke. Dann ist $A(\mathcal{T}) = (\alpha_1, \dots, \alpha_{3m})$ der **Winkelvektor** von \mathcal{T} mit den sortierten Dreieckswinkeln $\alpha_1 \leq \dots \leq \alpha_{3m}$.

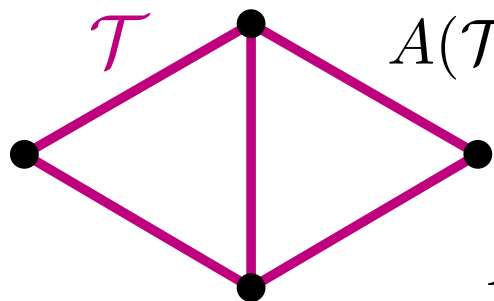


$$A(\mathcal{T}) = (60^\circ, 60^\circ, 60^\circ, 60^\circ, 60^\circ, 60^\circ)$$

Winkeloptimale Triangulierungen

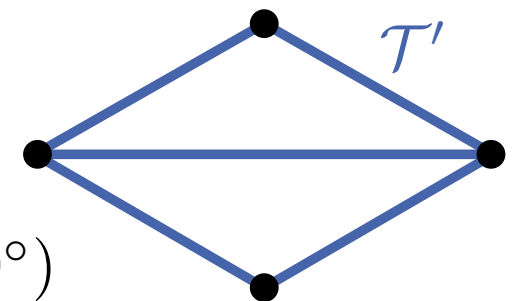
Def.: Sei $P \subset \mathbb{R}^2$ eine Punktmenge, \mathcal{T} eine Triangulierung von P und m die Anzahl der Dreiecke. Dann ist $A(\mathcal{T}) = (\alpha_1, \dots, \alpha_{3m})$ der **Winkelvektor** von \mathcal{T} mit den sortierten Dreieckswinkeln $\alpha_1 \leq \dots \leq \alpha_{3m}$.

Für zwei Triangulierungen \mathcal{T} und \mathcal{T}' von P definiere die Ordnung $A(\mathcal{T}) > A(\mathcal{T}')$ als lexikographische Ordnung.



$$A(\mathcal{T}) = (60^\circ, 60^\circ, 60^\circ, 60^\circ, 60^\circ, 60^\circ)$$

$$A(\mathcal{T}') = (30^\circ, 30^\circ, 30^\circ, 30^\circ, 120^\circ, 120^\circ)$$

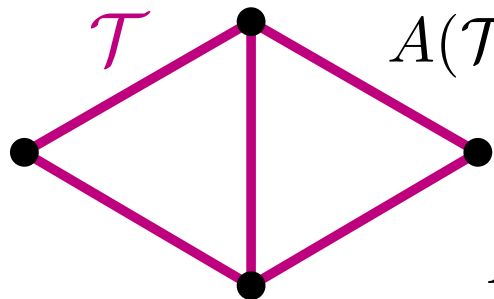


Winkeloptimale Triangulierungen

Def.: Sei $P \subset \mathbb{R}^2$ eine Punktmenge, \mathcal{T} eine Triangulierung von P und m die Anzahl der Dreiecke. Dann ist $A(\mathcal{T}) = (\alpha_1, \dots, \alpha_{3m})$ der **Winkelvektor** von \mathcal{T} mit den sortierten Dreieckswinkeln $\alpha_1 \leq \dots \leq \alpha_{3m}$.

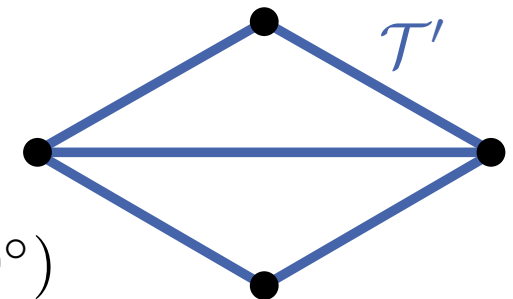
Für zwei Triangulierungen \mathcal{T} und \mathcal{T}' von P definiere die Ordnung $A(\mathcal{T}) > A(\mathcal{T}')$ als lexikographische Ordnung.

\mathcal{T} heißt **winkeloptimal**, falls $A(\mathcal{T}) \geq A(\mathcal{T}')$ für alle Triangulierungen \mathcal{T}' von P .



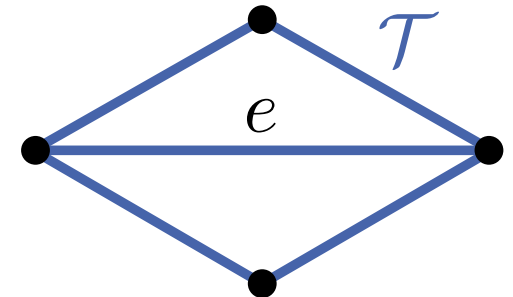
$$A(\mathcal{T}) = (60^\circ, 60^\circ, 60^\circ, 60^\circ, 60^\circ, 60^\circ)$$

$$A(\mathcal{T}') = (30^\circ, 30^\circ, 30^\circ, 30^\circ, 120^\circ, 120^\circ)$$



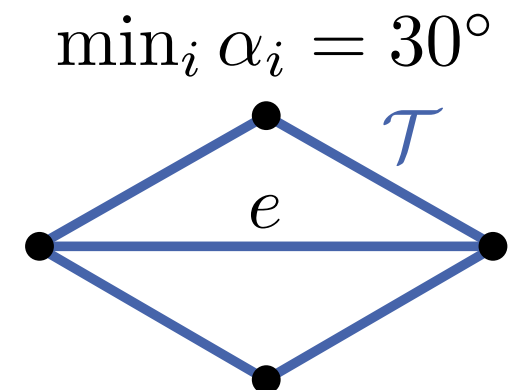
Kantenflips

Def.: Sei \mathcal{T} eine Triangulierung. Eine Kante e von \mathcal{T} heißt **unzulässig**, wenn der kleinste Winkel der zu e inzidenten Dreiecke durch einen Kantenflip größer wird.



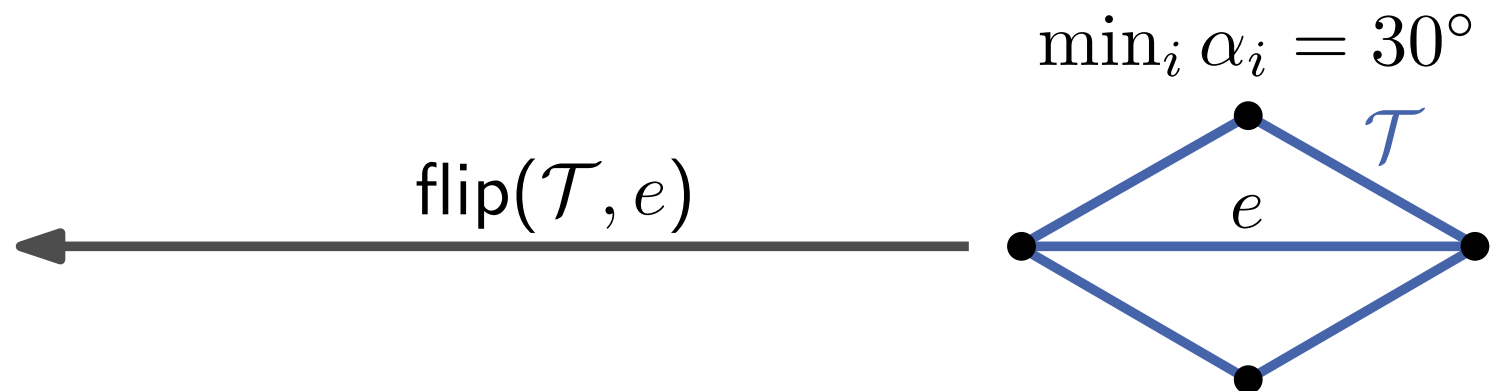
Kantenflips

Def.: Sei \mathcal{T} eine Triangulierung. Eine Kante e von \mathcal{T} heißt **unzulässig**, wenn der kleinste Winkel der zu e inzidenten Dreiecke durch einen Kantenflip größer wird.



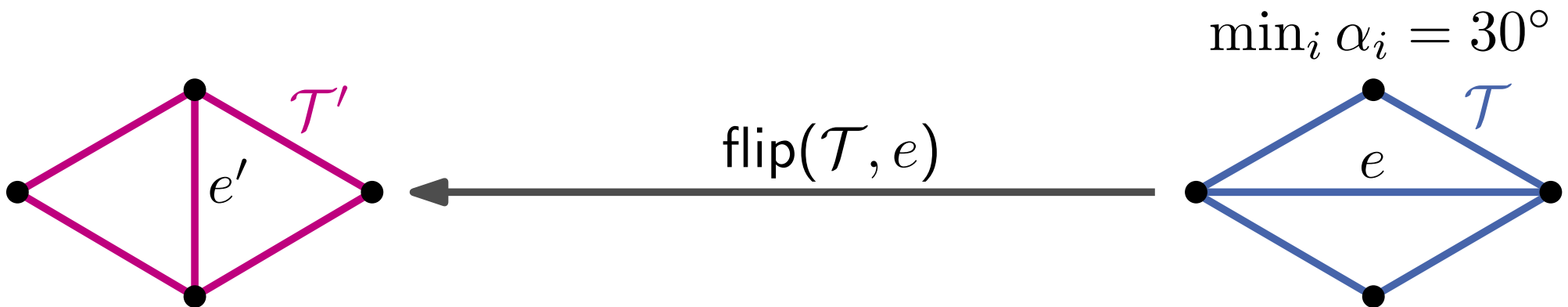
Kantenflips

Def.: Sei \mathcal{T} eine Triangulierung. Eine Kante e von \mathcal{T} heißt **unzulässig**, wenn der kleinste Winkel der zu e inzidenten Dreiecke durch einen Kantenflip größer wird.



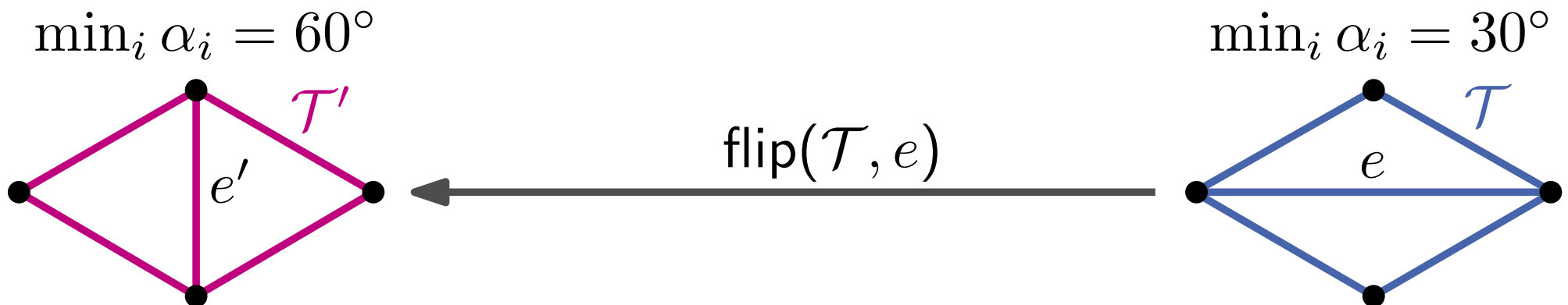
Kantenflips

Def.: Sei \mathcal{T} eine Triangulierung. Eine Kante e von \mathcal{T} heißt **unzulässig**, wenn der kleinste Winkel der zu e inzidenten Dreiecke durch einen Kantenflip größer wird.



Kantenflips

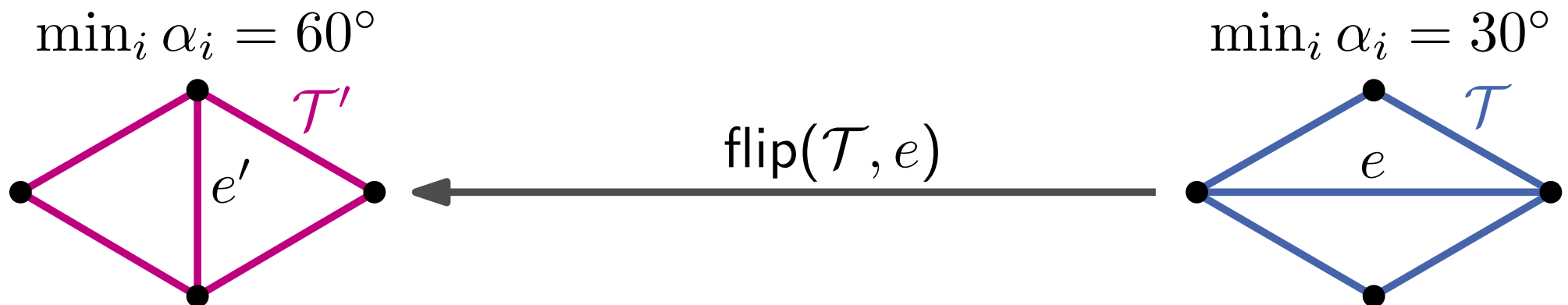
Def.: Sei \mathcal{T} eine Triangulierung. Eine Kante e von \mathcal{T} heißt **unzulässig**, wenn der kleinste Winkel der zu e inzidenten Dreiecke durch einen Kantenflip größer wird.



Kantenflips

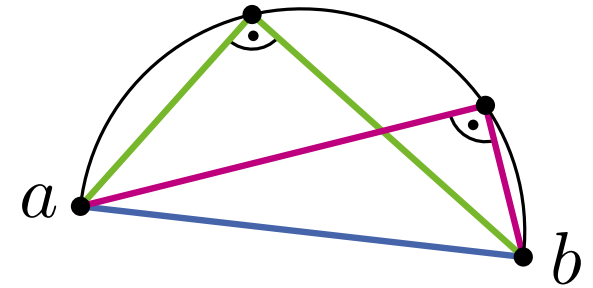
Def.: Sei \mathcal{T} eine Triangulierung. Eine Kante e von \mathcal{T} heißt **unzulässig**, wenn der kleinste Winkel der zu e inzidenten Dreiecke durch einen Kantenflip größer wird.

Beob.: Sei e eine unzulässige Kante von \mathcal{T} und $\mathcal{T}' = \text{flip}(\mathcal{T}, e)$. Dann gilt $A(\mathcal{T}') > A(\mathcal{T})$.



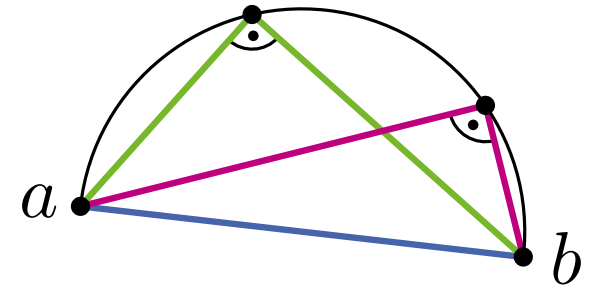
Der Satz von Thales

Satz 2: Alle Dreiecke aus den Endpunkten des Kreisdurchmessers und eines Halbkreispunktes sind rechtwinklig.

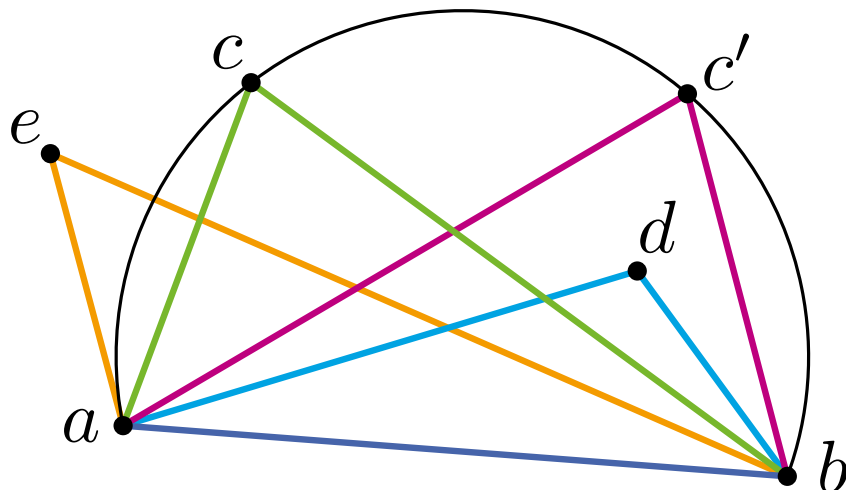


Der Satz von Thales

Satz 2: Alle Dreiecke aus den Endpunkten des Kreisdurchmessers und eines Halbkreispunktes sind rechtwinklig.



Satz 2': Alle Dreiecke aus den Endpunkten einer Sekante $\ell = \overline{ab}$ und eines Kreispunktes c auf der gleichen Seite von ℓ haben den gleichen Winkel an c . Für Dreiecke $\triangle abd$ mit d innerhalb des Kreises gilt $\angle adb > \angle acd$, für e außerhalb des Kreises gilt $\angle aeb < \angle acd$.



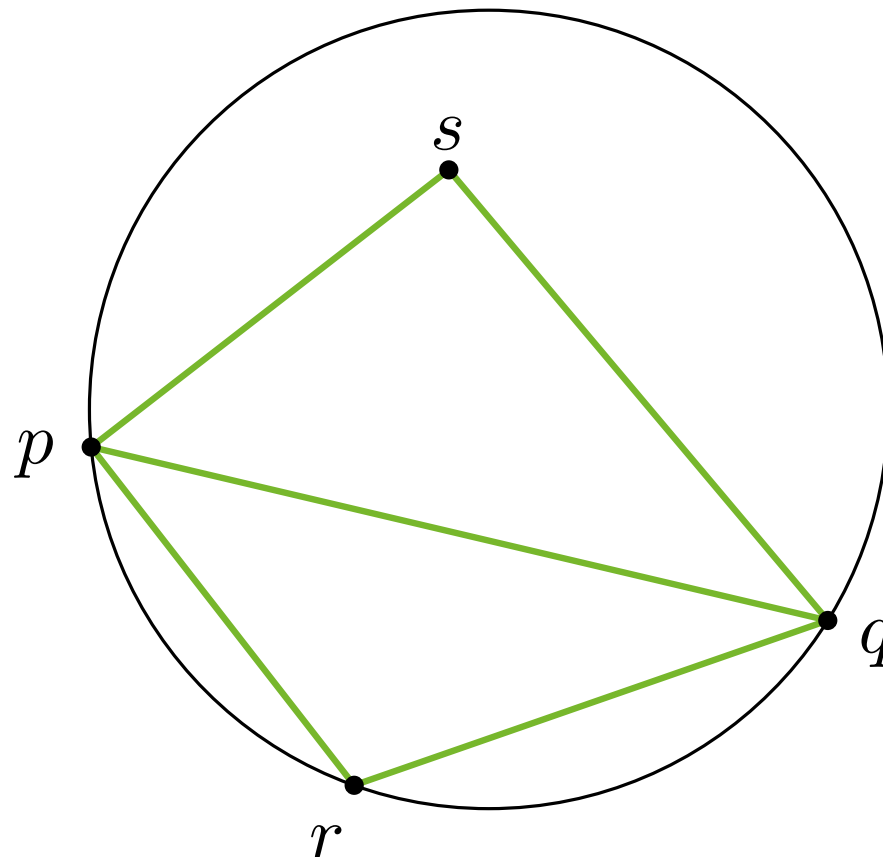
$$\angle aeb < \angle acb = \angle ac'b < \angle adb$$

Zulässige Triangulierungen

Lemma 1: Seien Δ_{prq} und Δ_{pqs} zwei Dreiecke in \mathcal{T} und C der Umkreis von Δ_{prq} . Dann ist \overline{pq} unzulässig genau dann wenn $s \in \text{int}(C)$.

Bilden p, q, r, s ein konvexes Viereck ($s \notin \partial C$) so ist entweder \overline{pq} oder \overline{rs} unzulässig.

Beweisskizze:

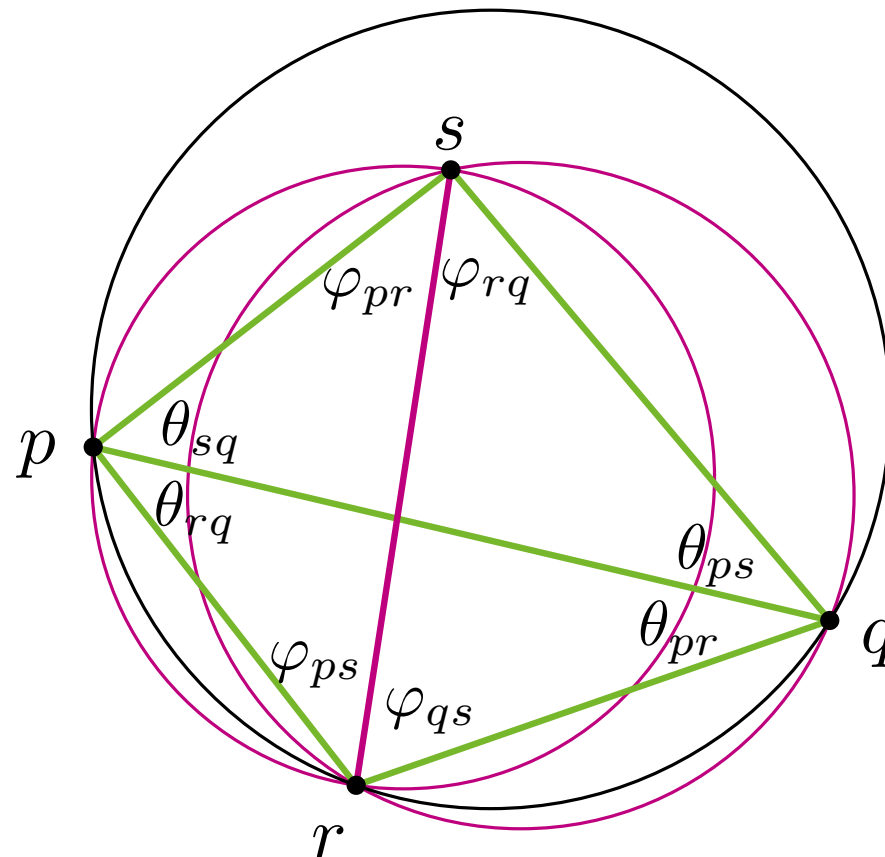


Zulässige Triangulierungen

Lemma 1: Seien Δprq und Δpqs zwei Dreiecke in \mathcal{T} und C der Umkreis von Δprq . Dann ist \overline{pq} unzulässig genau dann wenn $s \in \text{int}(C)$.

Bilden p, q, r, s ein konvexes Viereck ($s \notin \partial C$) so ist entweder \overline{pq} oder \overline{rs} unzulässig.

Beweisskizze:



$$\varphi_{pr} > \theta_{pr}$$

$$\varphi_{ps} > \theta_{ps}$$

$$\varphi_{rq} > \theta_{rq}$$

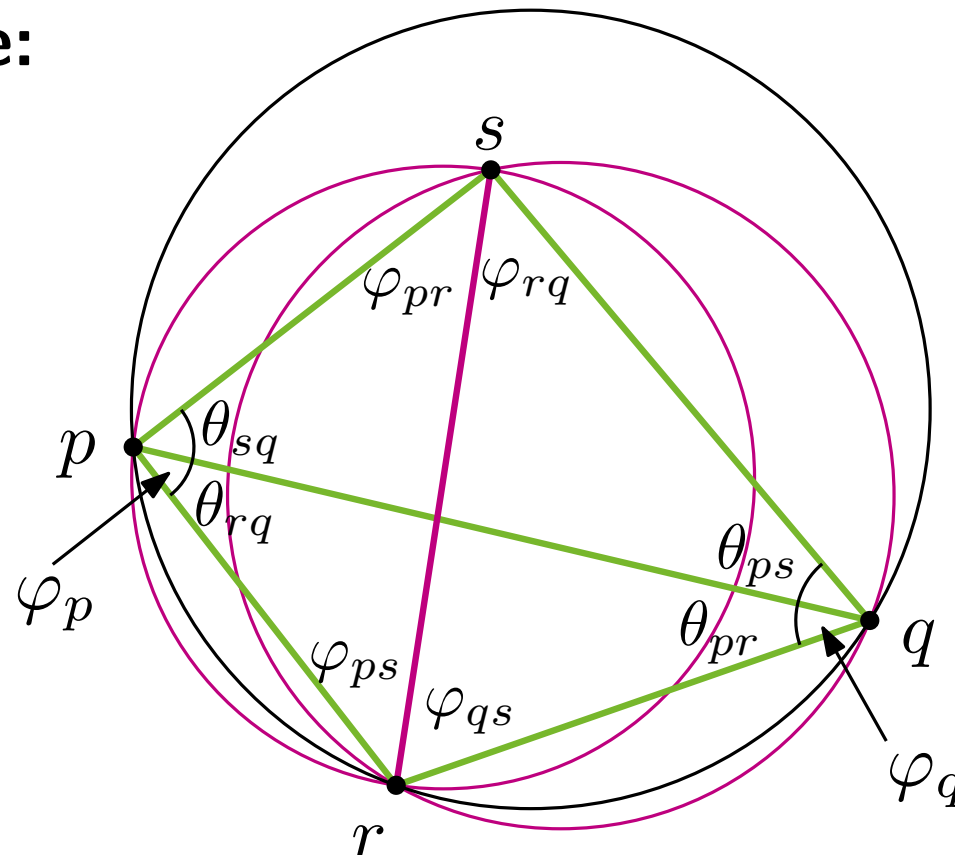
$$\varphi_{qs} > \theta_{qs}$$

Zulässige Triangulierungen

Lemma 1: Seien Δprq und Δpqs zwei Dreiecke in \mathcal{T} und C der Umkreis von Δprq . Dann ist \overline{pq} unzulässig genau dann wenn $s \in \text{int}(C)$.

Bilden p, q, r, s ein konvexes Viereck ($s \notin \partial C$) so ist entweder \overline{pq} oder \overline{rs} unzulässig.

Beweisskizze:



$$\varphi_{pr} > \theta_{pr}$$

$$\varphi_{ps} > \theta_{ps}$$

$$\varphi_{rq} > \theta_{rq}$$

$$\varphi_{qs} > \theta_{qs}$$

$$\varphi_p > \theta_{rq}$$

$$\varphi_q > \theta_{pr}$$

Zulässige Triangulierungen

Lemma 1: Seien Δprq und Δpqs zwei Dreiecke in \mathcal{T} und C der Umkreis von Δprq . Dann ist \overline{pq} unzulässig genau dann wenn $s \in \text{int}(C)$.

Bilden p, q, r, s ein konvexes Viereck ($s \notin \partial C$) so ist entweder \overline{pq} oder \overline{rs} unzulässig.

- Bem.:**
- Charakterisierung symmetrisch bzgl. r und s
 - $s \in \partial C \Rightarrow \overline{pq}$ und \overline{rs} zulässig
 - Kante unzulässig \Rightarrow Viereck konvex

Zulässige Triangulierungen

Lemma 1: Seien Δprq und Δpqs zwei Dreiecke in \mathcal{T} und C der Umkreis von Δprq . Dann ist \overline{pq} unzulässig genau dann wenn $s \in \text{int}(C)$.

Bilden p, q, r, s ein konvexes Viereck ($s \notin \partial C$) so ist entweder \overline{pq} oder \overline{rs} unzulässig.

Bem.:

- Charakterisierung symmetrisch bzgl. r und s
- $s \in \partial C \Rightarrow \overline{pq}$ und \overline{rs} zulässig
- Kante unzulässig \Rightarrow Viereck konvex

Def.: Triangulierung ohne unzulässige Kanten heißt **zulässig**.

Zulässige Triangulierungen

Lemma 1: Seien Δprq und Δpqs zwei Dreiecke in \mathcal{T} und C der Umkreis von Δprq . Dann ist \overline{pq} unzulässig genau dann wenn $s \in \text{int}(C)$.

Bilden p, q, r, s ein konvexes Viereck ($s \notin \partial C$) so ist entweder \overline{pq} oder \overline{rs} unzulässig.

Bem.:

- Charakterisierung symmetrisch bzgl. r und s
- $s \in \partial C \Rightarrow \overline{pq}$ und \overline{rs} zulässig
- Kante unzulässig \Rightarrow Viereck konvex

Def.: Triangulierung ohne unzulässige Kanten heißt **zulässig**.

Gibt es immer eine zulässige Triangulierung?

Zulässige Triangulierungen

Lemma 1: Seien Δprq und Δpqs zwei Dreiecke in \mathcal{T} und C der Umkreis von Δprq . Dann ist \overline{pq} unzulässig genau dann wenn $s \in \text{int}(C)$.

Bilden p, q, r, s ein konvexes Viereck ($s \notin \partial C$) so ist entweder \overline{pq} oder \overline{rs} unzulässig.

Bem.:

- Charakterisierung symmetrisch bzgl. r und s
- $s \in \partial C \Rightarrow \overline{pq}$ und \overline{rs} zulässig
- Kante unzulässig \Rightarrow Viereck konvex

Def.: Triangulierung ohne unzulässige Kanten heißt **zulässig**.

```
while  $\mathcal{T}$  hat unzulässige Kante  $e$  do  
   $\lfloor$  flip( $\mathcal{T}, e$ )  
return  $\mathcal{T}$ 
```

Zulässige Triangulierungen

Lemma 1: Seien Δprq und Δpqs zwei Dreiecke in \mathcal{T} und C der Umkreis von Δprq . Dann ist \overline{pq} unzulässig genau dann wenn $s \in \text{int}(C)$.

Bilden p, q, r, s ein konvexes Viereck ($s \notin \partial C$) so ist entweder \overline{pq} oder \overline{rs} unzulässig.

Bem.:

- Charakterisierung symmetrisch bzgl. r und s
- $s \in \partial C \Rightarrow \overline{pq}$ und \overline{rs} zulässig
- Kante unzulässig \Rightarrow Viereck konvex

Def.: Triangulierung ohne unzulässige Kanten heißt **zulässig**.

while \mathcal{T} hat unzulässige Kante e **do**

\lfloor flip(\mathcal{T}, e)

return \mathcal{T}

terminiert, da $A(\mathcal{T})$ wächst und

#Triangulierungen endlich ($< 30^n$, [Sharir, Sheffer 2011])

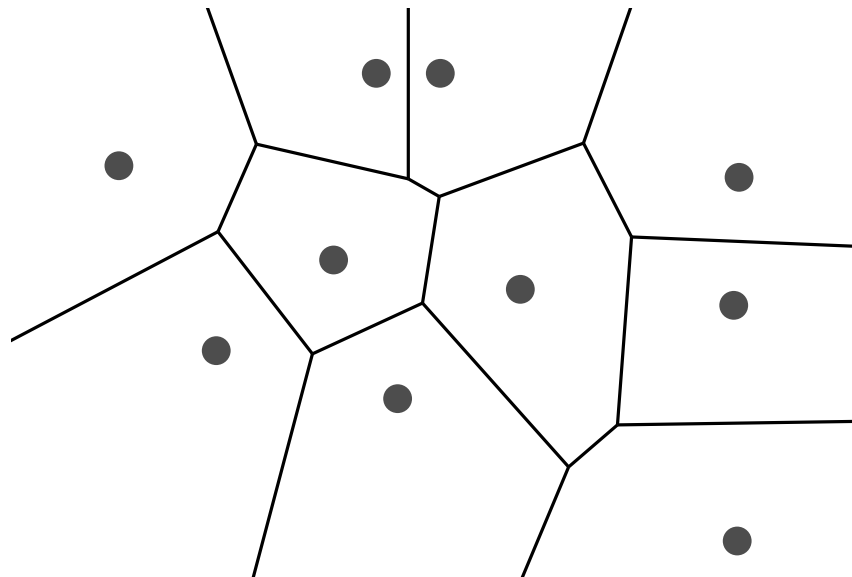
Es gilt: Jede winkeloptimale Triangulierung ist zulässig.

Aber ist jede zulässige Triangulierung auch winkeloptimal?

Die Delaunay-Triangulierung

Sei $\text{Vor}(P)$ das Voronoi-Diagramm einer Punktmenge P .

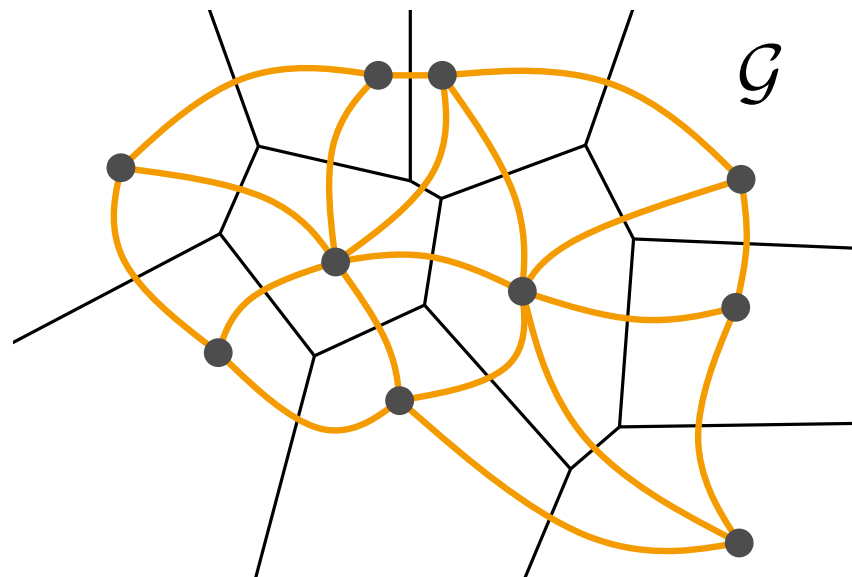
Def.: Der Graph $\mathcal{G} = (P, E)$ mit
 $E = \{pq \mid \mathcal{V}(p) \text{ und } \mathcal{V}(q) \text{ sind benachbart}\}$
heißt **Dualgraph** von $\text{Vor}(P)$.



Die Delaunay-Triangulierung

Sei $\text{Vor}(P)$ das Voronoi-Diagramm einer Punktmenge P .

Def.: Der Graph $\mathcal{G} = (P, E)$ mit
 $E = \{pq \mid \mathcal{V}(p) \text{ und } \mathcal{V}(q) \text{ sind benachbart}\}$
heißt **Dualgraph** von $\text{Vor}(P)$.

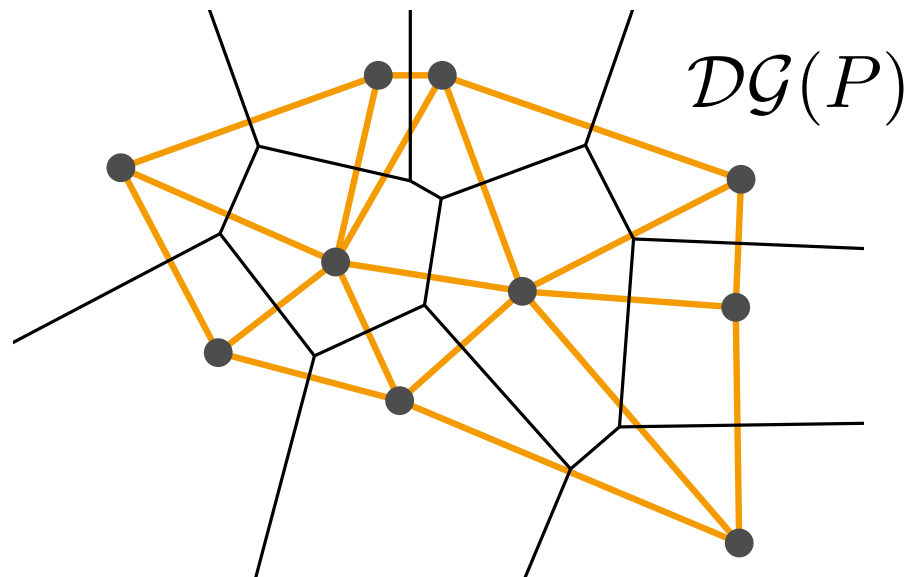


Die Delaunay-Triangulierung

Sei $\text{Vor}(P)$ das Voronoi-Diagramm einer Punktmenge P .

Def.: Der Graph $\mathcal{G} = (P, E)$ mit
 $E = \{pq \mid \mathcal{V}(p) \text{ und } \mathcal{V}(q) \text{ sind benachbart}\}$
heißt **Dualgraph** von $\text{Vor}(P)$.

Def.: Die geradlinige Zeichnung von \mathcal{G} heißt **Delaunay-Graph** $\mathcal{DG}(P)$.



Die Delaunay-Triangulierung

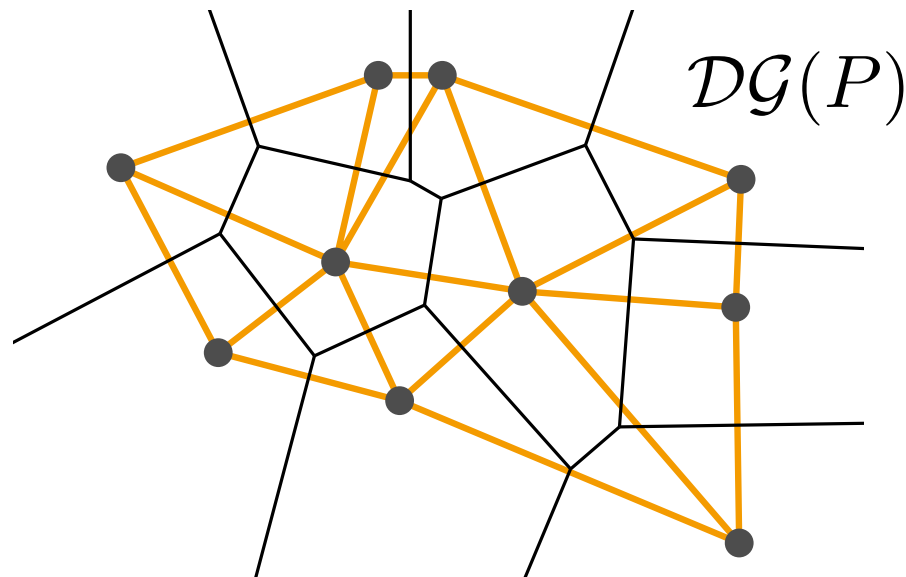
Sei $\text{Vor}(P)$ das Voronoi-Diagramm einer Punktmenge P .

Def.: Der Graph $\mathcal{G} = (P, E)$ mit
 $E = \{pq \mid \mathcal{V}(p) \text{ und } \mathcal{V}(q) \text{ sind benachbart}\}$
heißt **Dualgraph** von $\text{Vor}(P)$.

Def.: Die geradlinige Zeichnung von \mathcal{G} heißt **Delaunay-Graph** $\mathcal{DG}(P)$.



Georgy Voronoy
(1868–1908)



Boris Delone
(1890–1980)

Eigenschaften

Satz 3: $DG(P)$ ist kreuzungsfrei.

Satz 3: $\mathcal{DG}(P)$ ist kreuzungsfrei.

Beweisskizze:

Der Bisektor $b(p, q)$ definiert eine Voronoi-Kante
 $\Leftrightarrow \exists r \in b(p, q)$ mit $C_P(r) \cap P = \{p, q\}$.

bzw.

Die Kante pq ist in $\mathcal{DG}(P)$

\Leftrightarrow es gibt einen leeren Kreis $C_{p,q}$ mit p und q auf dem Rand.

Satz 3: $\mathcal{DG}(P)$ ist kreuzungsfrei.

Beweisskizze:

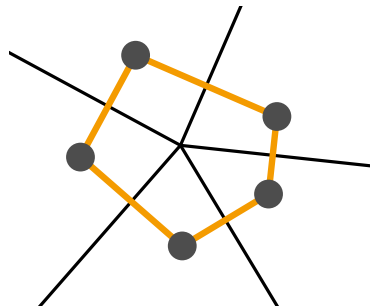
Der Bisektor $b(p, q)$ definiert eine Voronoi-Kante
 $\Leftrightarrow \exists r \in b(p, q)$ mit $C_P(r) \cap P = \{p, q\}$.

bzw.

Die Kante pq ist in $\mathcal{DG}(P)$

\Leftrightarrow es gibt einen leeren Kreis $C_{p,q}$ mit p und q auf dem Rand.

Beob.: Ein Voronoi-Knoten v in $\text{Vor}(P)$ mit Grad k entspricht einem konvexen k -Eck in $\mathcal{DG}(P)$.



Satz 3: $\mathcal{DG}(P)$ ist kreuzungsfrei.

Beweisskizze:

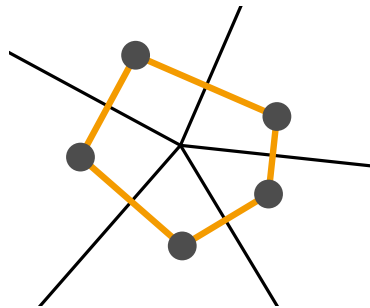
Der Bisektor $b(p, q)$ definiert eine Voronoi-Kante
 $\Leftrightarrow \exists r \in b(p, q)$ mit $C_P(r) \cap P = \{p, q\}$.

bzw.

Die Kante pq ist in $\mathcal{DG}(P)$

\Leftrightarrow es gibt einen leeren Kreis $C_{p,q}$ mit p und q auf dem Rand.

Beob.: Ein Voronoi-Knoten v in $\text{Vor}(P)$ mit Grad k entspricht einem konvexen k -Eck in $\mathcal{DG}(P)$.



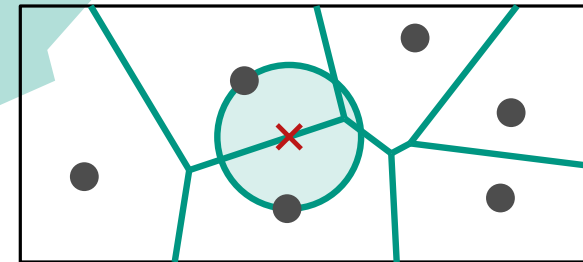
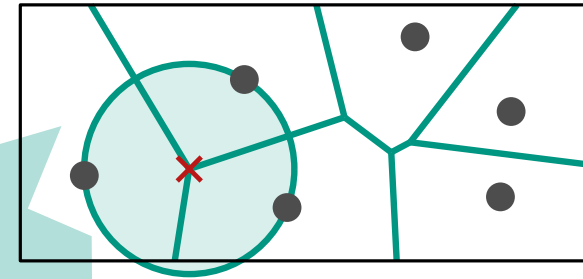
Ist P in allgemeiner Lage (keine 4 Punkte auf eine Kreis), so sind alle Facetten in $\mathcal{DG}(P)$ Dreiecke \rightarrow

Delaunay-Triangulierung

Charakterisierung

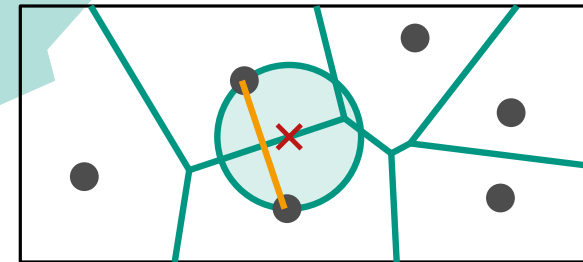
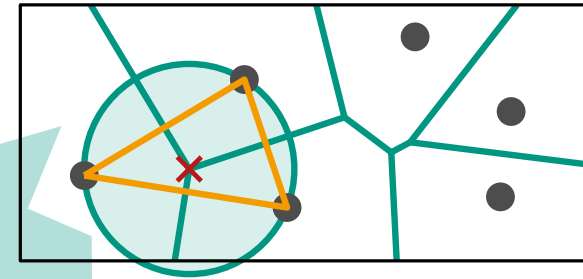
Satz über Voronoi-Diagramme:

- Ein Punkt q ist ein Voronoi-Knoten
 $\Leftrightarrow |C_P(q) \cap P| \geq 3,$
- der Bisektor $b(p_i, p_j)$ definiert eine Voronoi-Kante
 $\Leftrightarrow \exists q \in b(p_i, p_j)$ mit $C_P(q) \cap P = \{p_i, p_j\}.$



Satz über Voronoi-Diagramme:

- Ein Punkt q ist ein Voronoi-Knoten
 $\Leftrightarrow |C_P(q) \cap P| \geq 3$,
- der Bisektor $b(p_i, p_j)$ definiert eine Voronoi-Kante
 $\Leftrightarrow \exists q \in b(p_i, p_j)$ mit $C_P(q) \cap P = \{p_i, p_j\}$.

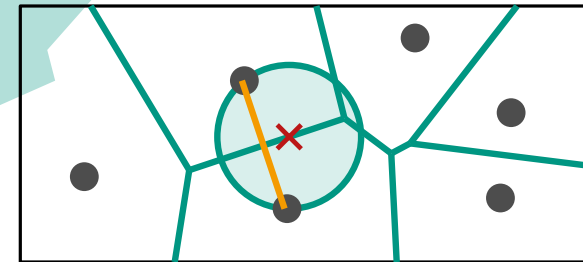
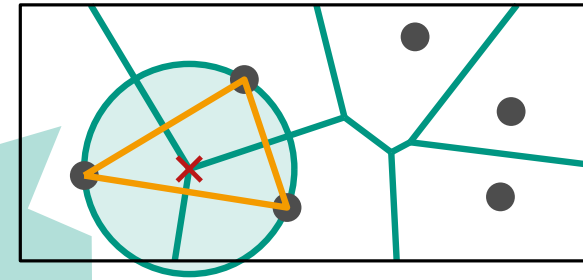


Satz 4: Sei P eine Menge von Punkten.

- Punkte p, q, r sind Knoten der gleichen Facette in $\mathcal{DG}(P) \Leftrightarrow$ Kreis durch p, q, r ist leer
- Kante pq ist in $\mathcal{DG}(P)$
 \Leftrightarrow es gibt einen leeren Kreis $C_{p,q}$ durch p und q

Satz über Voronoi-Diagramme:

- Ein Punkt q ist ein Voronoi-Knoten
 $\Leftrightarrow |C_P(q) \cap P| \geq 3$,
- der Bisektor $b(p_i, p_j)$ definiert eine Voronoi-Kante
 $\Leftrightarrow \exists q \in b(p_i, p_j)$ mit $C_P(q) \cap P = \{p_i, p_j\}$.



Satz 4: Sei P eine Menge von Punkten.

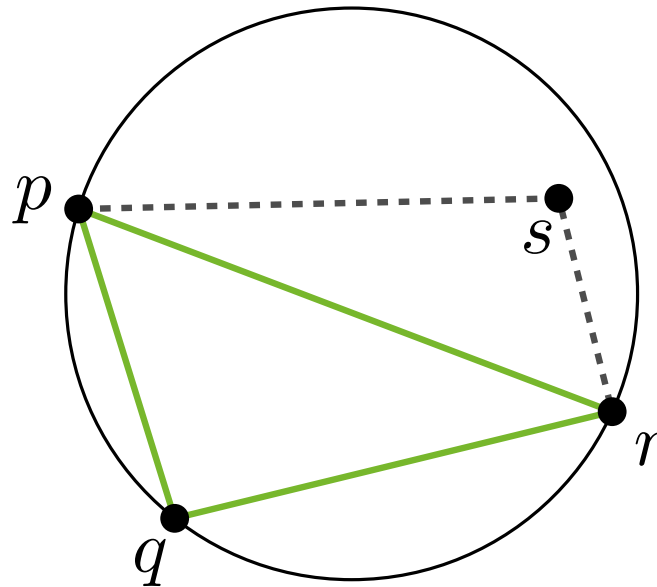
- Punkte p, q, r sind Knoten der gleichen Facette in $\mathcal{DG}(P) \Leftrightarrow$ Kreis durch p, q, r ist leer
- Kante pq ist in $\mathcal{DG}(P)$
 \Leftrightarrow es gibt einen leeren Kreis $C_{p,q}$ durch p und q

Satz 5: Sei P Punktmenge und \mathcal{T} eine Triangulierung von P .

- \mathcal{T} ist Delaunay-Triangulierung
 \Leftrightarrow Umkreis jedes Dreiecks ist im Inneren leer.

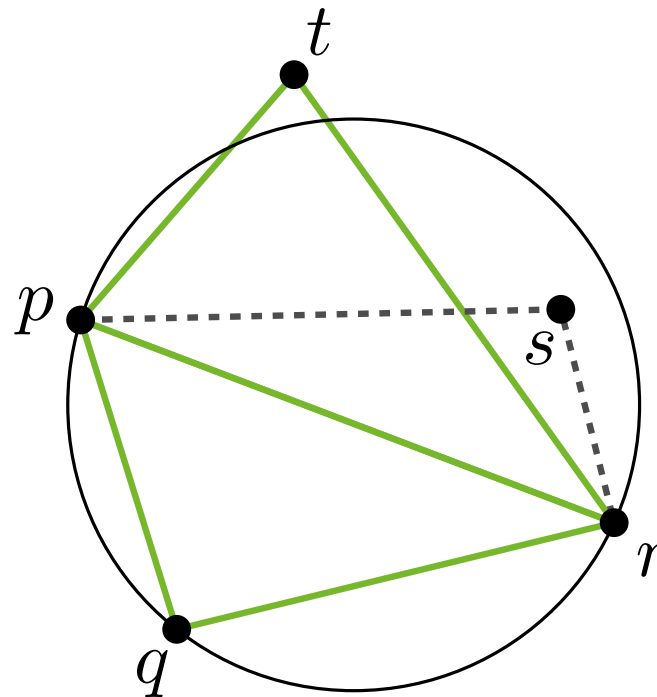
Satz 6: Sei P Punktmenge und \mathcal{T} eine Triangulierung von P .
 \mathcal{T} ist zulässig $\Leftrightarrow \mathcal{T}$ ist Delaunay-Triangulierung.

Beweisskizze:



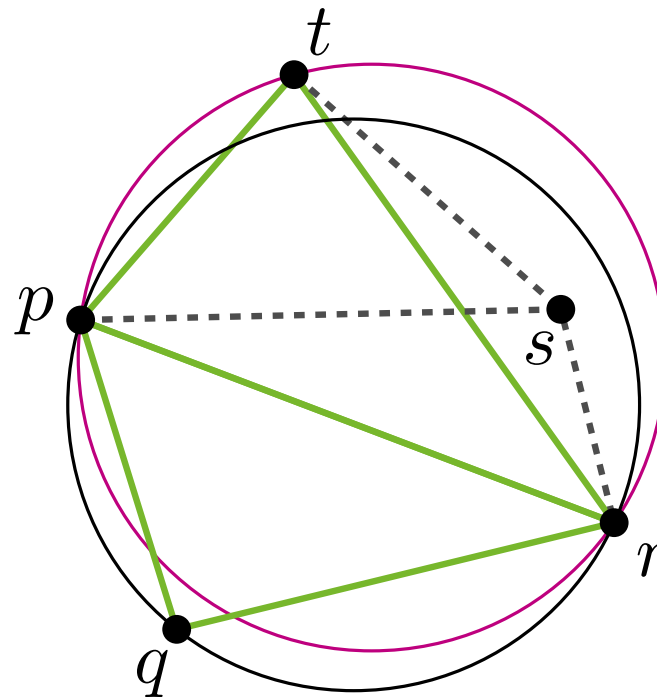
Satz 6: Sei P Punktmenge und \mathcal{T} eine Triangulierung von P .
 \mathcal{T} ist zulässig $\Leftrightarrow \mathcal{T}$ ist Delaunay-Triangulierung.

Beweisskizze:



Satz 6: Sei P Punktmenge und \mathcal{T} eine Triangulierung von P .
 \mathcal{T} ist zulässig $\Leftrightarrow \mathcal{T}$ ist Delaunay-Triangulierung.

Beweisskizze:



Satz 6: Sei P Punktmenge und \mathcal{T} eine Triangulierung von P .
 \mathcal{T} ist zulässig $\Leftrightarrow \mathcal{T}$ ist Delaunay-Triangulierung.

Beob.: Ist P in allgemeiner Lage ist $\mathcal{DG}(P)$ eindeutig

Satz 6: Sei P Punktmenge und \mathcal{T} eine Triangulierung von P .
 \mathcal{T} ist zulässig $\Leftrightarrow \mathcal{T}$ ist Delaunay-Triangulierung.

Beob.: Ist P in allgemeiner Lage ist $\mathcal{DG}(P)$ eindeutig
 \Rightarrow zulässige Triangulierung ist eindeutig

Satz 6: Sei P Punktmenge und \mathcal{T} eine Triangulierung von P .
 \mathcal{T} ist zulässig $\Leftrightarrow \mathcal{T}$ ist Delaunay-Triangulierung.

Beob.: Ist P in allgemeiner Lage ist $\mathcal{DG}(P)$ eindeutig
 \Rightarrow zulässige Triangulierung ist eindeutig
wissen: \mathcal{T} winkeloptymal $\Rightarrow \mathcal{T}$ zulässig

Satz 6: Sei P Punktmenge und \mathcal{T} eine Triangulierung von P .
 \mathcal{T} ist zulässig $\Leftrightarrow \mathcal{T}$ ist Delaunay-Triangulierung.

Beob.: Ist P in allgemeiner Lage ist $\mathcal{DG}(P)$ eindeutig
 \Rightarrow zulässige Triangulierung ist eindeutig
wissen: \mathcal{T} winkeloptymal $\Rightarrow \mathcal{T}$ zulässig
 $\Rightarrow \mathcal{DG}(P)$ winkeloptymal!

Satz 6: Sei P Punktmenge und \mathcal{T} eine Triangulierung von P .
 \mathcal{T} ist zulässig $\Leftrightarrow \mathcal{T}$ ist Delaunay-Triangulierung.

Beob.: Ist P in allgemeiner Lage ist $DG(P)$ eindeutig
 \Rightarrow zulässige Triangulierung ist eindeutig
wissen: \mathcal{T} winkeloptymal $\Rightarrow \mathcal{T}$ zulässig
 $\Rightarrow DG(P)$ winkeloptymal!

Ist P *nicht* in allgemeiner Lage, so ist zumindest für jede Triangulierung einer „großen“ Facette von $DG(P)$ der minimale Winkel gleich (Übung!).

Satz 7: Für n beliebige Punkte kann in $O(n \log n)$ Zeit eine Delaunay-Triangulierung berechnet werden.
(Voronoi-Diag. + Triangulierung „großer“ Facetten)

Satz 7: Für n beliebige Punkte kann in $O(n \log n)$ Zeit eine Delaunay-Triangulierung berechnet werden.
(Voronoi-Diag. + Triangulierung „großer“ Facetten)

Korollar: Für n Punkte in allgemeiner Lage kann in $O(n \log n)$ Zeit eine winkeloptimale Triangulierung berechnet werden.

Sind die Punkte nicht in allgemeiner Lage, lässt sich zumindest eine Triangulierung mit maximalem kleinsten Winkel in $O(n \log n)$ Zeit berechnen.